

“Gestión de un Sistema de Control Distribuido Utilizando Multi-Network TCP/IP para Procesos Industriales Virtuales, Basado en IoT.”

Trabajo de titulación previo a la obtención del título de Ingeniero Electromecánico

Autor: Cónedor Sinchiguano , Henry Vladimir

Director : Ing. Sánchez Ocaña, Wilson Edmundo MSc.

Latacunga 2022



AGENDA:

-  MOTIVACIÓN
-  PROBLEMÁTICA
-  OBJETIVOS
-  METODOLOGÍA
-  DISEÑO DEL DCS
-  ANÁLISIS DE RESULTADOS
-  CONCLUSIONES Y RECOMENDACIONES



AGENDA:

-  MOTIVACIÓN
-  PROBLEMÁTICA
-  OBJETIVOS
-  METODOLOGÍA
-  DISEÑO DEL DCS
-  ANÁLISIS DE RESULTADOS
-  CONCLUSIONES Y RECOMENDACIONES



MOTIVACIÓN

En la actualidad las tecnologías de la comunicación e información de arquitectura abierta se han convertido de vital importancia en la industria 4.0, la influencia de herramientas tecnológicas orientadas a esta revolución ha permitido una mayor flexibilidad dentro de los sistemas.

Ofreciendo nuevas maneras de organizar e integrar los procesos, permitiendo cada vez obtener sistemas más eficientes y con una mejor gestión, a través de tecnologías como la integración vertical y horizontal, análisis de datos, optimización, nube y simulación, entre otros.

En el mercado existen varias plataformas que facilitan el desarrollo de sistemas basados en IoT ofreciendo servicios del tipo Back-end como analítica avanzada, Big Data, Machine Learning, entre otros.

Con las soluciones de IoT conjuntamente con softwares y herramientas dedicados a la gestión y análisis que utilicen como base modelos estadísticos o matemáticos, ha permitido incrementar sus aplicaciones en múltiples áreas



AGENDA:

- MOTIVACIÓN
- PROBLEMÁTICA
- OBJETIVOS
- METODOLOGÍA
- DISEÑO DEL DCS
- ANÁLISIS DE RESULTADOS
- CONCLUSIONES Y RECOMENDACIONES



JUSTIFICACIÓN E IMPORTANCIA

El problema de esta investigación está centrado en la falta de la implementación y explotación de aquellas tecnologías que están enfocadas al desarrollo y avance de la era de digitalización industrial permitiendo que los procesos mejoren, se adapten y se mantengan a la vanguardia con las tecnologías de adquisición y manejo de datos, supervisión, control, almacenamiento, procesamiento y visualización. A su vez, el desconocimiento de nuevos sistemas automatizados en comunicación ha provocado que en su mayoría los procesos industriales en nuestro entorno evolucionen de una forma más lenta.



AGENDA:

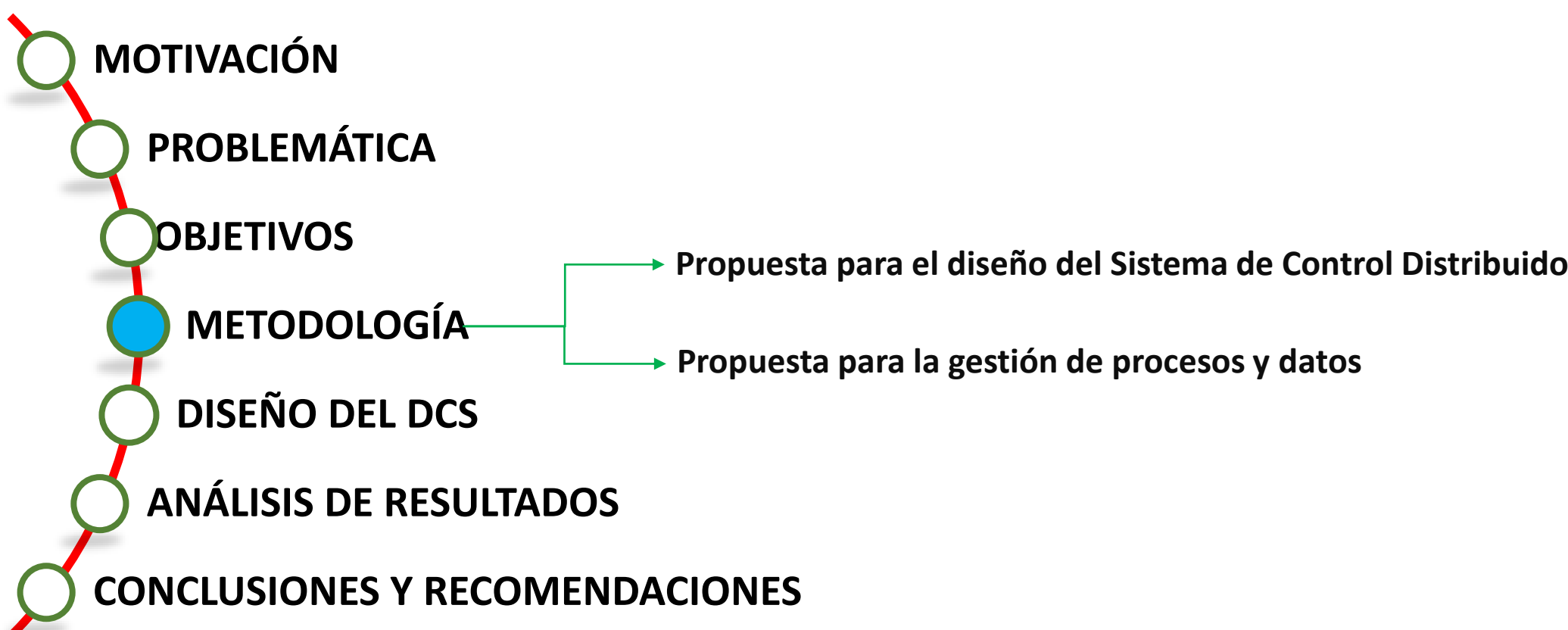


OBJETIVO GENERAL Y ESPECÍFICOS

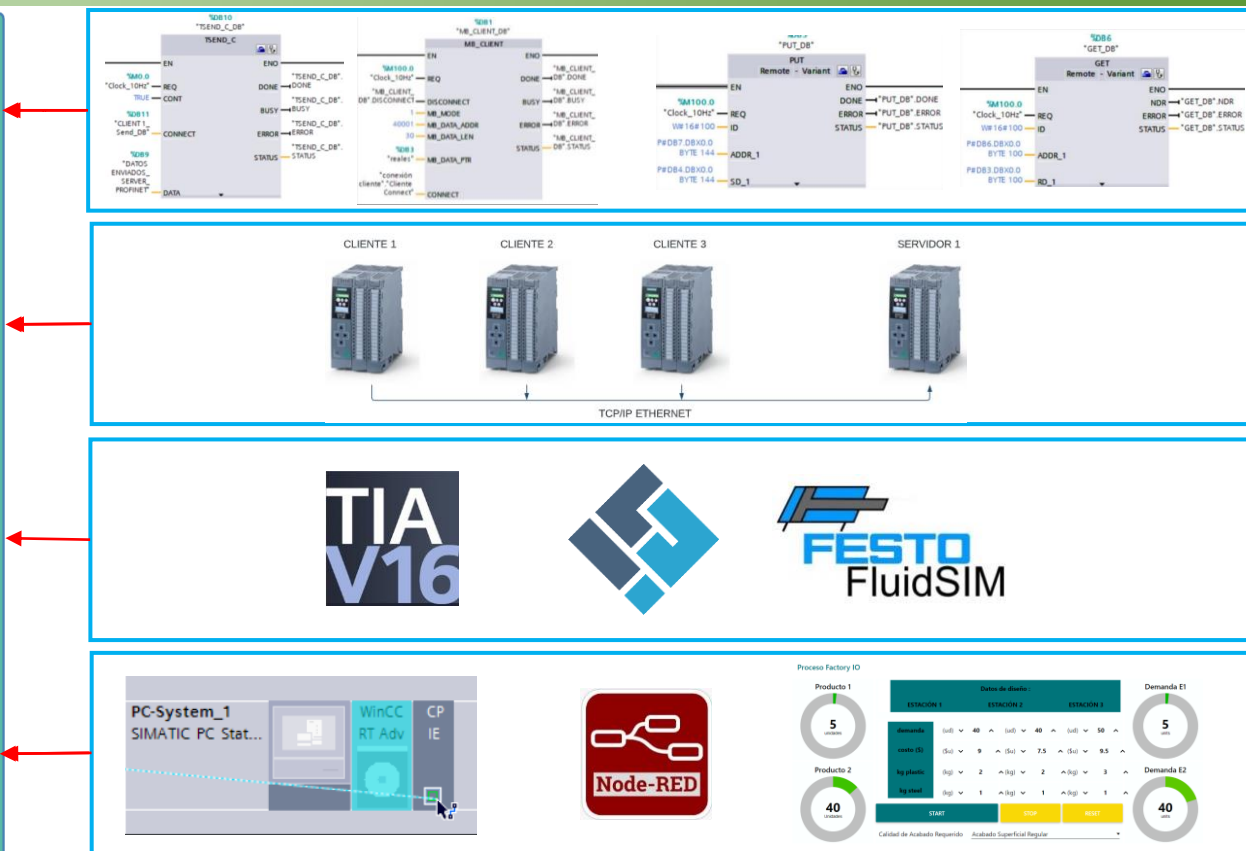
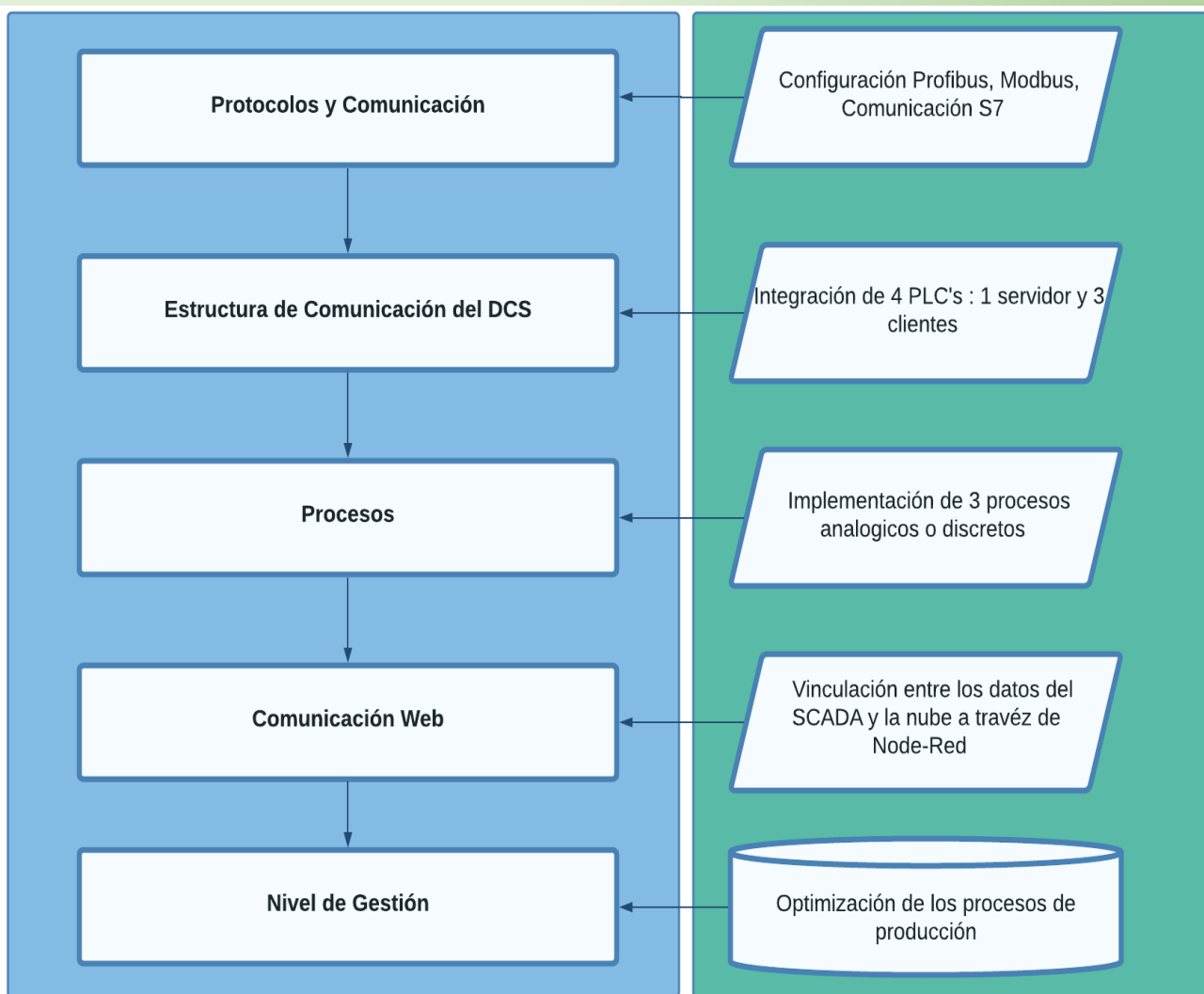
Gestionar una red de comunicación industrial para el control, monitoreo y, almacenamiento de información de un sistema de control distribuido basado en TCP/IP en procesos industriales virtuales, utilizando plataformas IoT.



AGENDA:



METODOLOGÍA

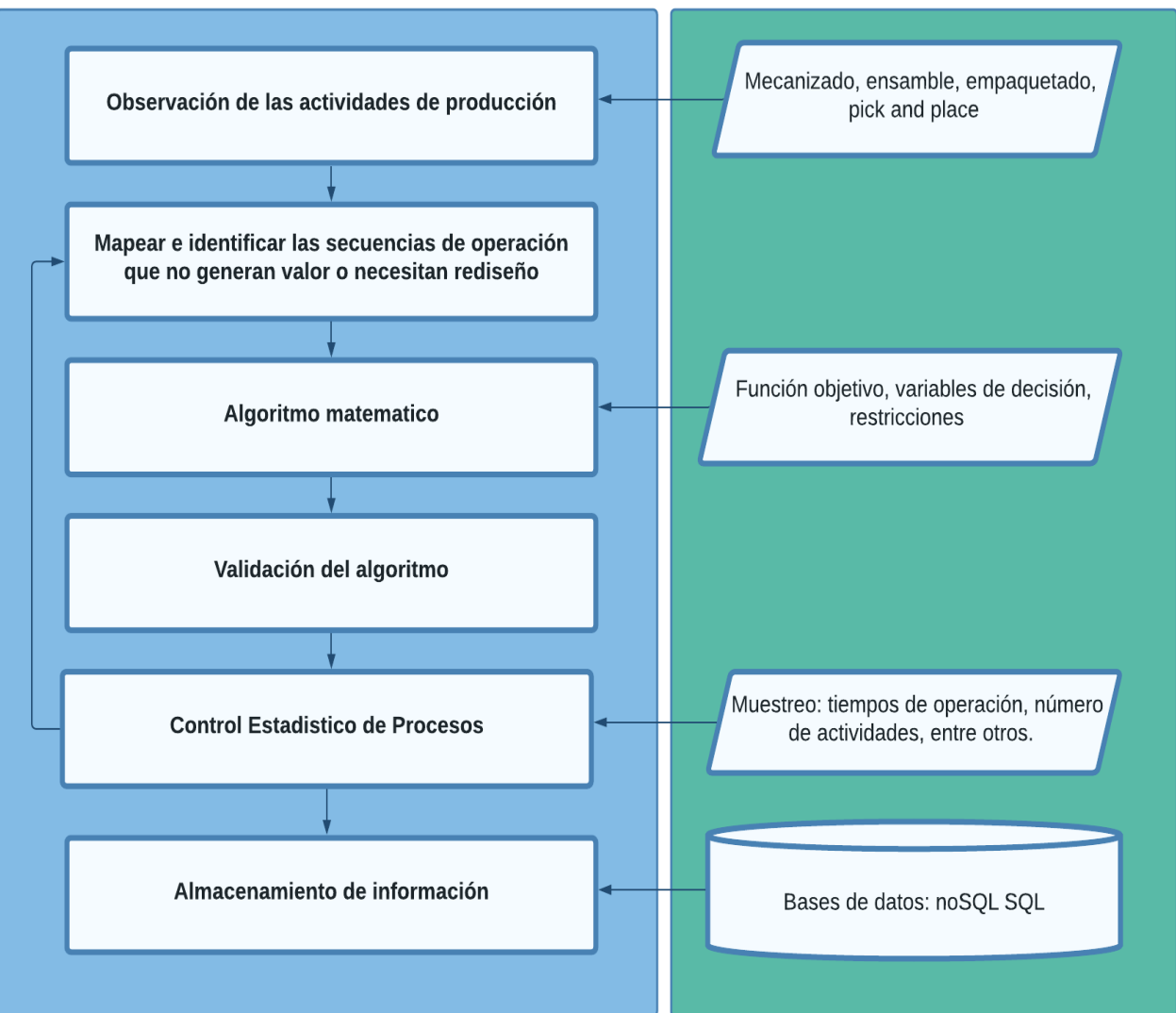


Metodología Propuesta, para el diseño del Sistema de Control Distribuido

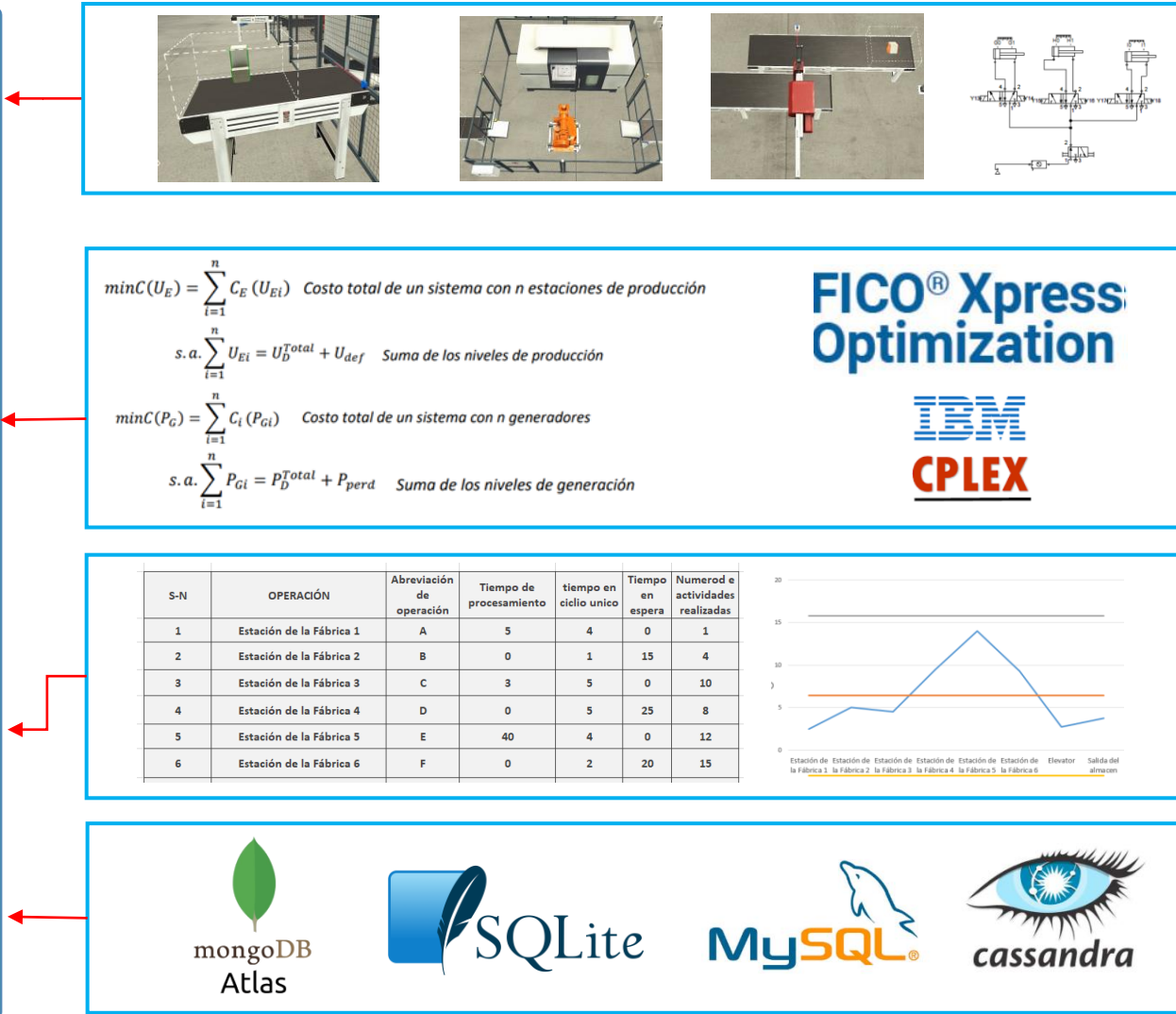


METODOLOGÍA

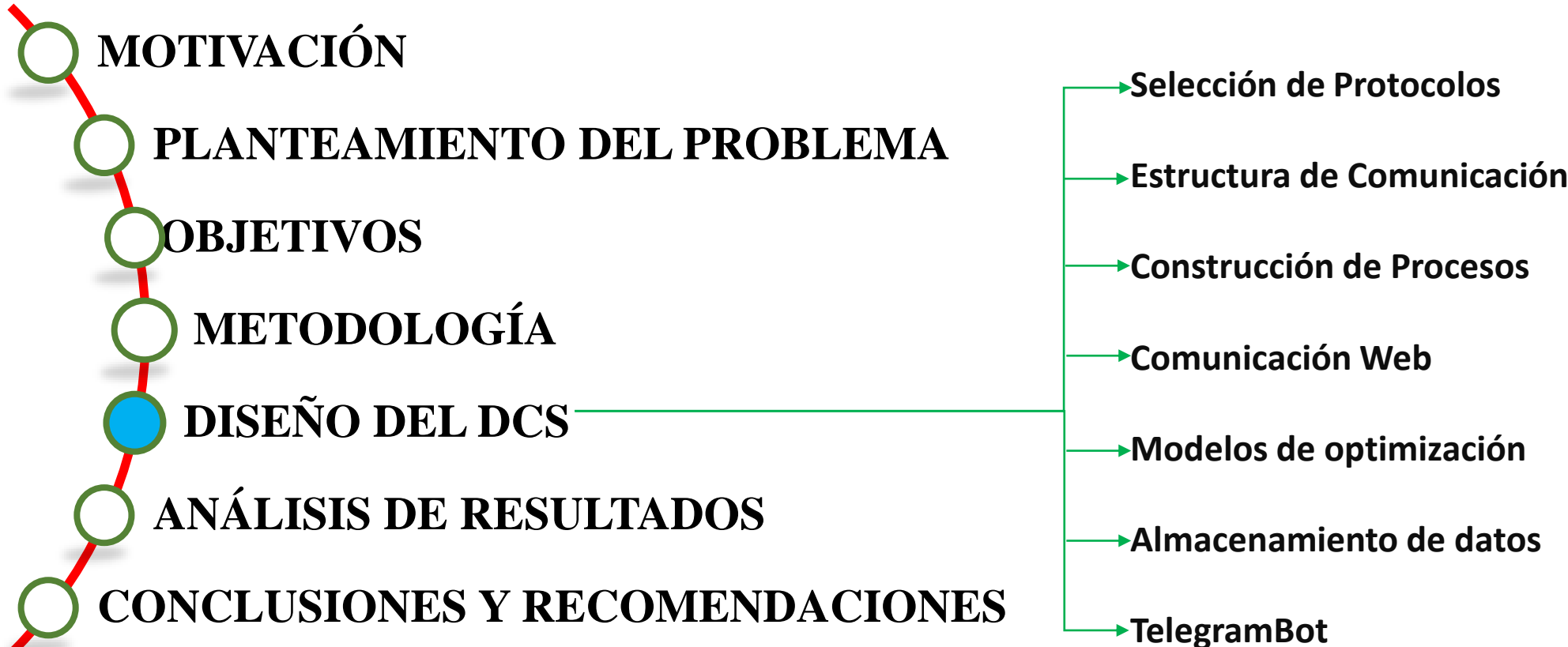
11



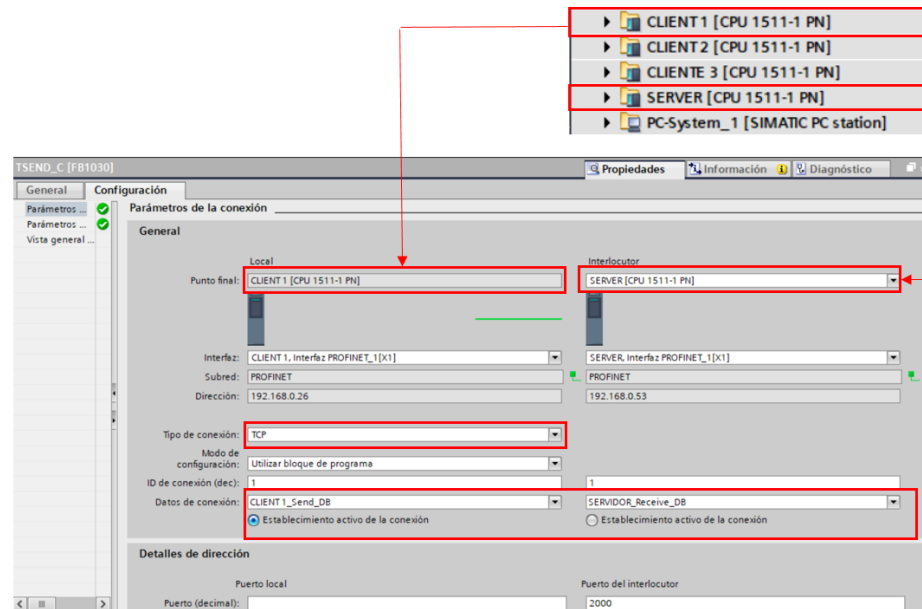
Metodología propuesta para la Gestión de Procesos



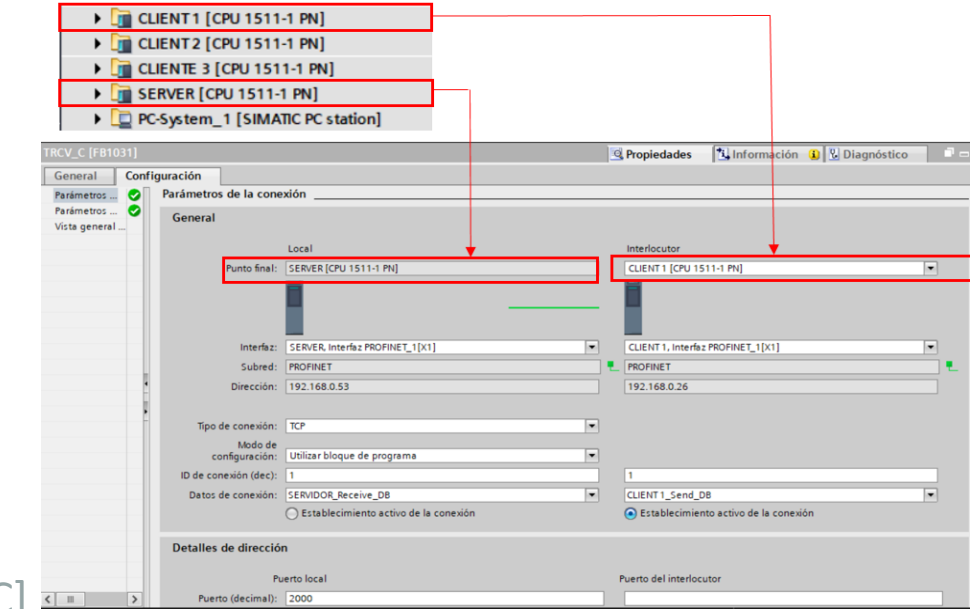
AGENDA:



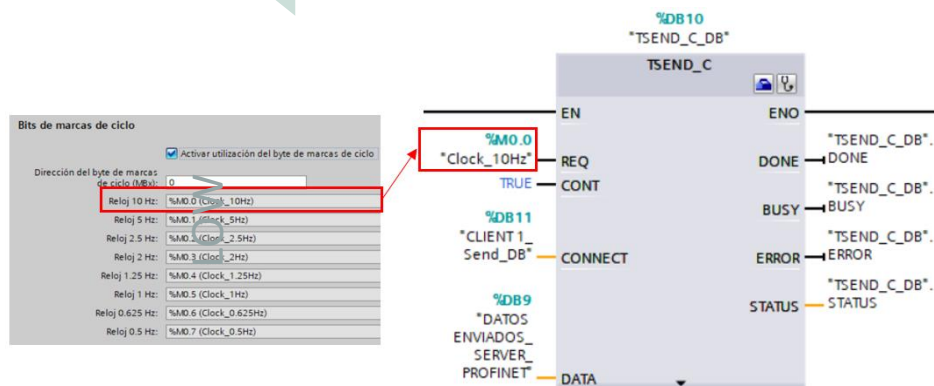
Selección de Protocolos y Comunicación : Profibus



[A]



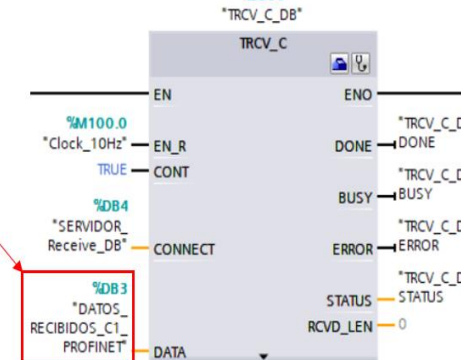
[C]

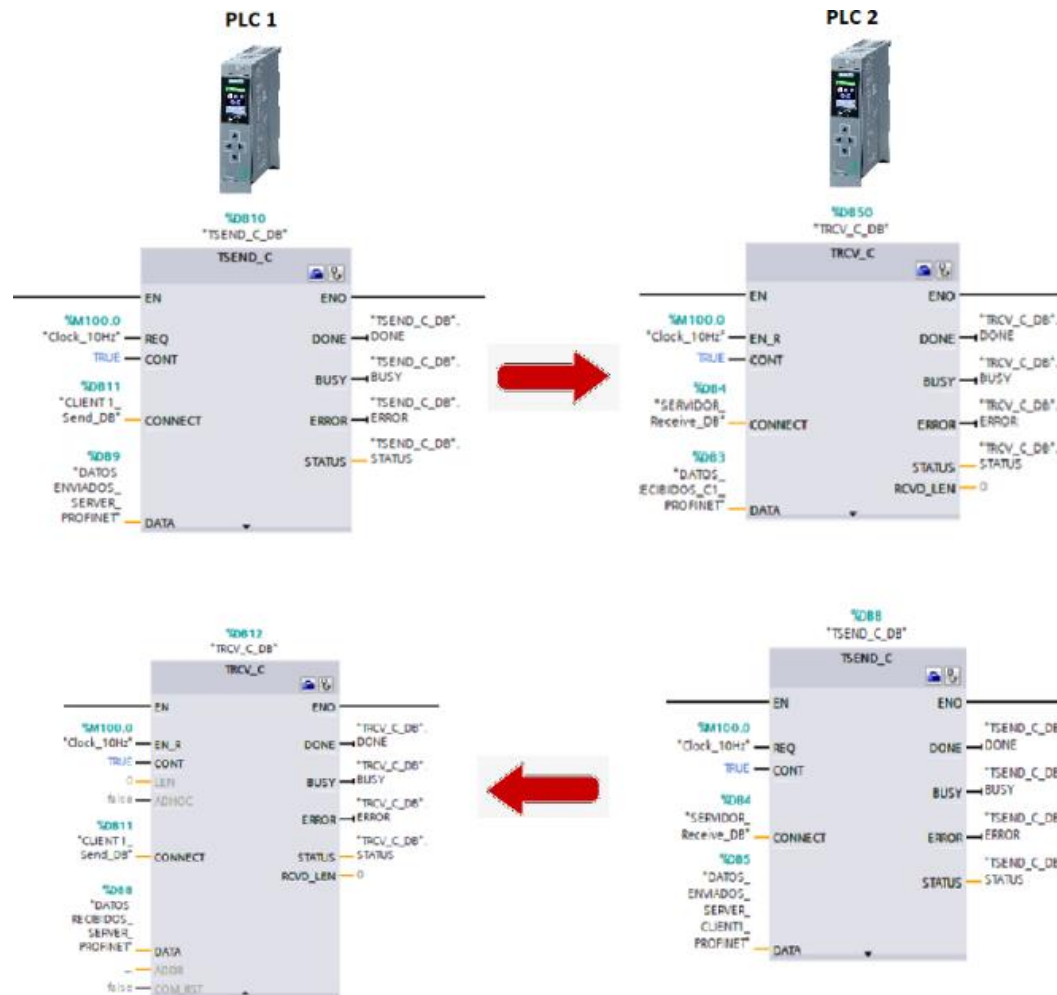


[B]

%DB10	"TSEND_C_DB"
Bits de marcas de ciclo	
Dirección del byte de marcas de ciclo (M8.0)	0
Reloj 10 Hz: %M0.0 (Clock_10Hz)	0
Reloj 5 Hz: %M0.1 (Clock_5Hz)	
Reloj 2 Hz: %M0.3 (Clock_2Hz)	
Reloj 1.25 Hz: %M0.4 (Clock_1.25Hz)	
Reloj 1 Hz: %M0.5 (Clock_1Hz)	
Reloj 0.625 Hz: %M0.6 (Clock_0.625Hz)	
Reloj 0.5 Hz: %M0.7 (Clock_0.5Hz)	
Activar utilización del byte de marcas de ciclo	<input checked="" type="checkbox"/>

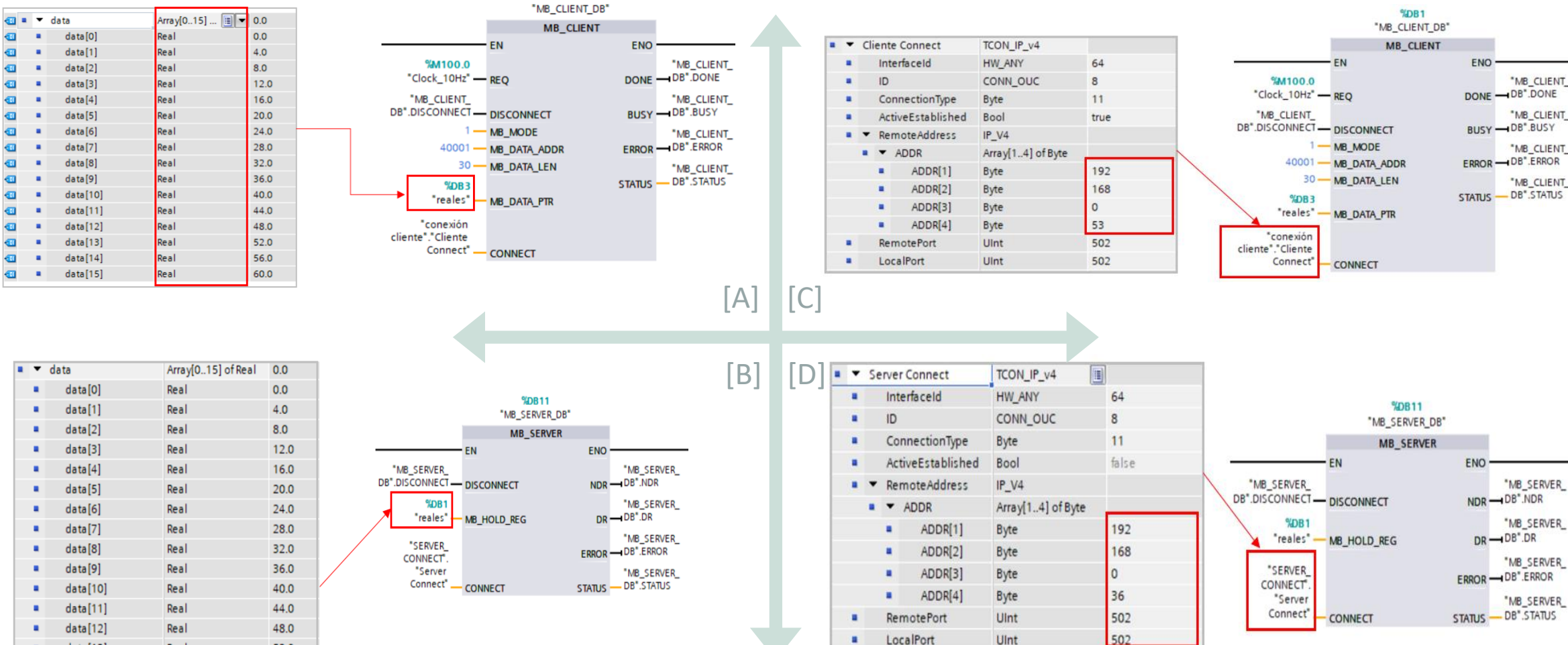
[D]





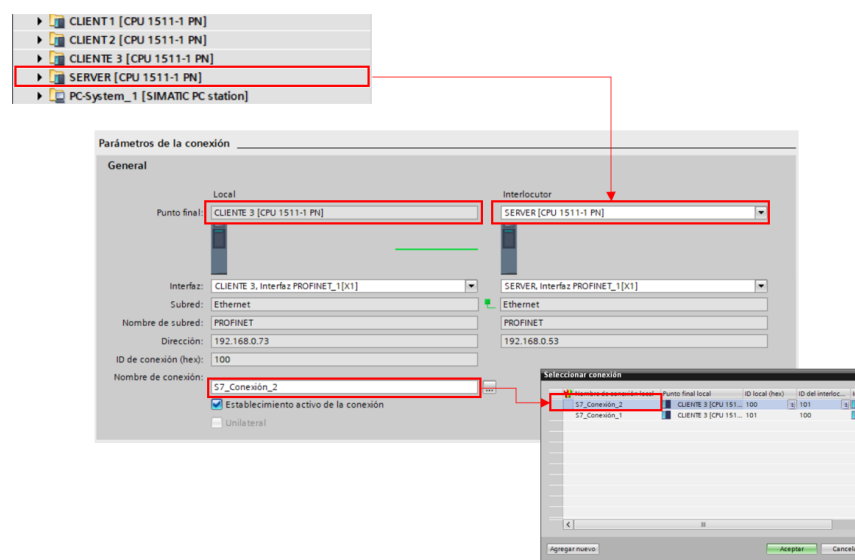
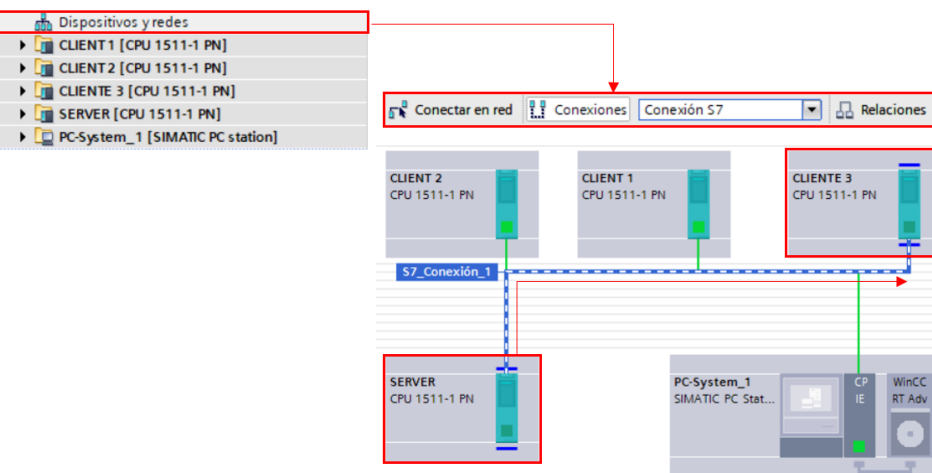
● Esquema de Envío y Recepción de Datos entre dos Controladores



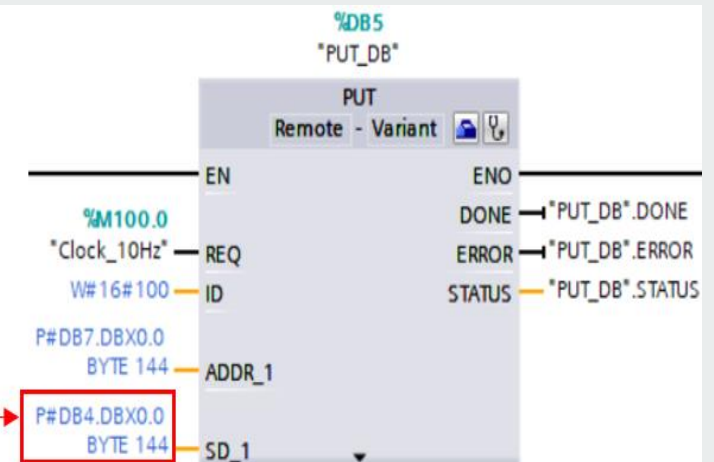


● Configuración de los bloques MB_CLIENT y MB_SERVER entre dos controladores

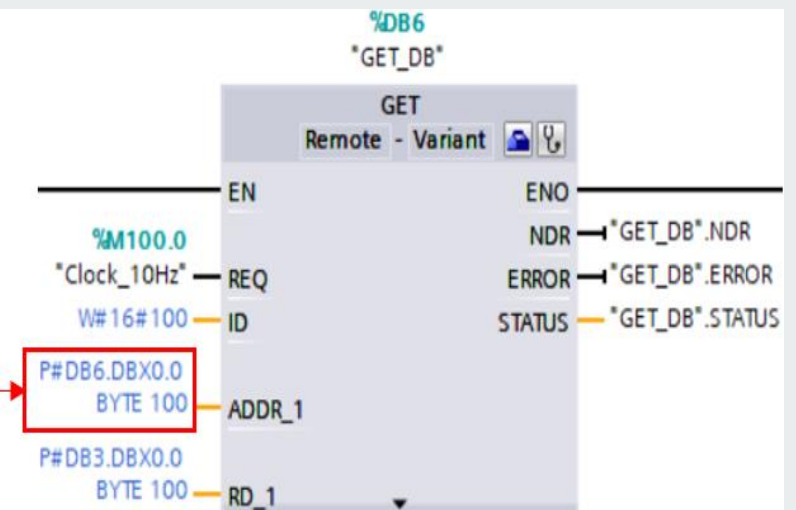




INT[26]	Real	104.0
INT[27]	Real	108.0
INT[28]	Real	112.0
INT[29]	Real	116.0
INT[30]	Real	120.0
INT[31]	Real	124.0
INT[32]	Real	128.0
INT[33]	Real	132.0
INT[34]	Real	136.0
INT[35]	Real	140.0

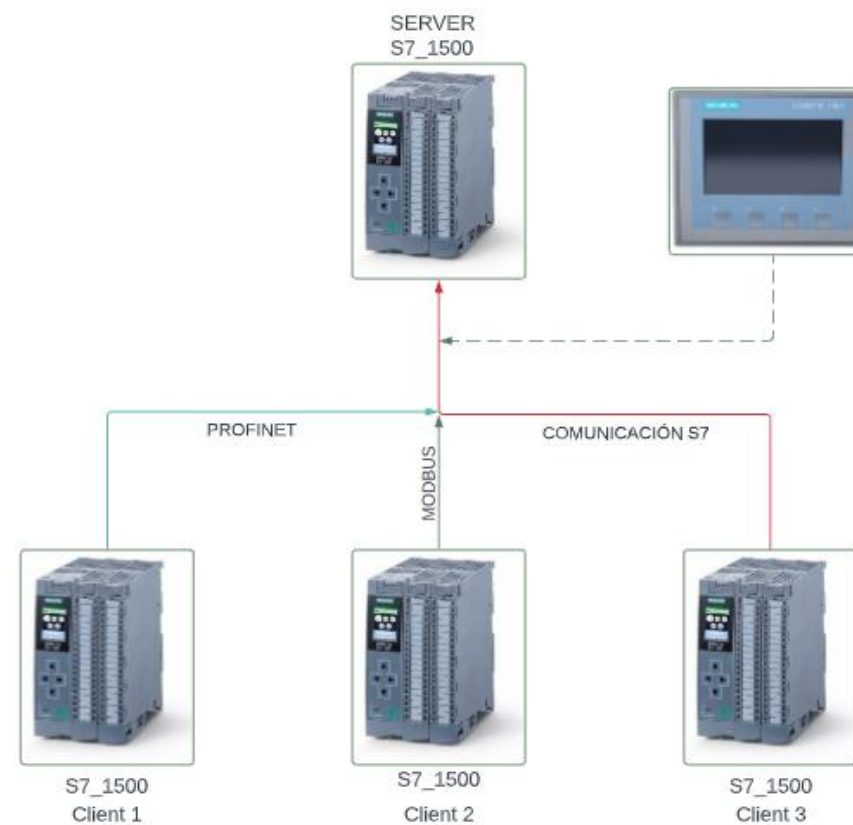


INT	Array[0..24] of Real	0.0
INT[0]	Real	0.0
INT[1]	Real	4.0
INT[2]	Real	8.0
INT[3]	Real	12.0
INT[4]	Real	16.0
INT[5]	Real	20.0
INT[6]	Real	24.0
INT[7]	Real	28.0
INT[8]	Real	32.0
INT[9]	Real	36.0
INT[10]	Real	40.0

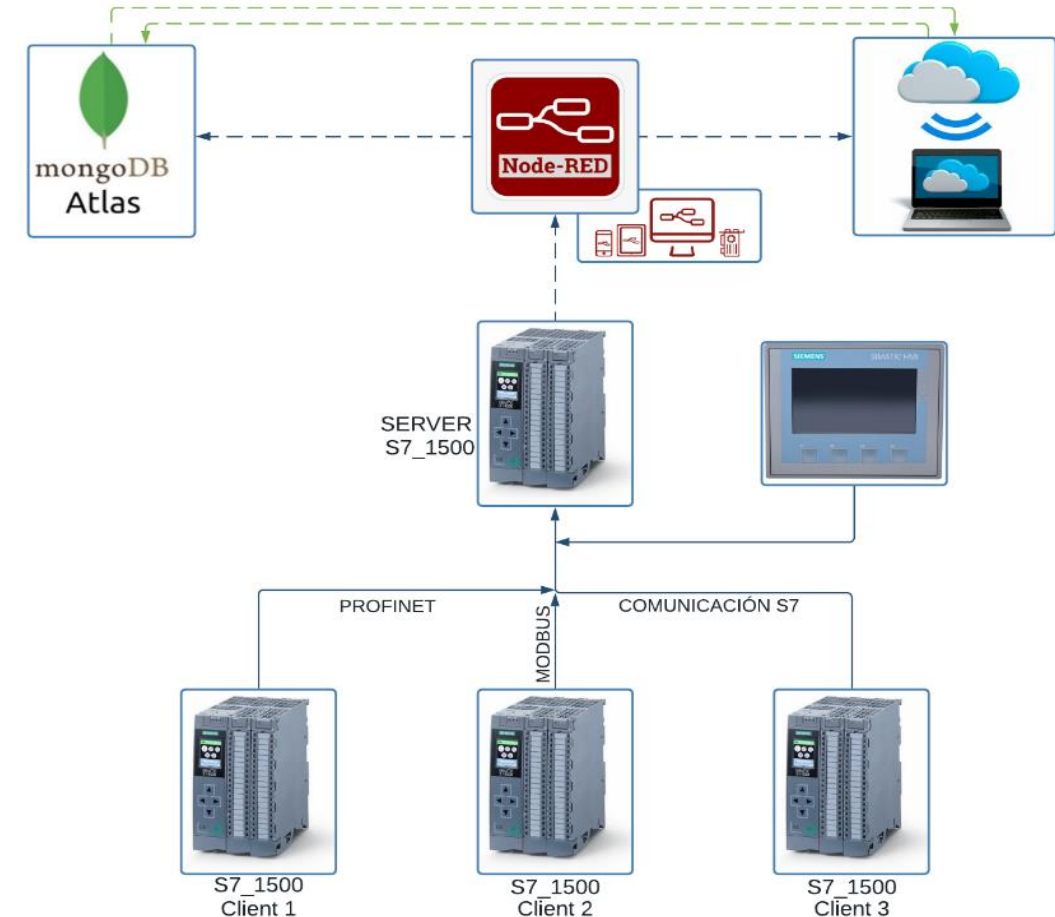


● Configuración de los bloques PUT y GET entre dos controladores



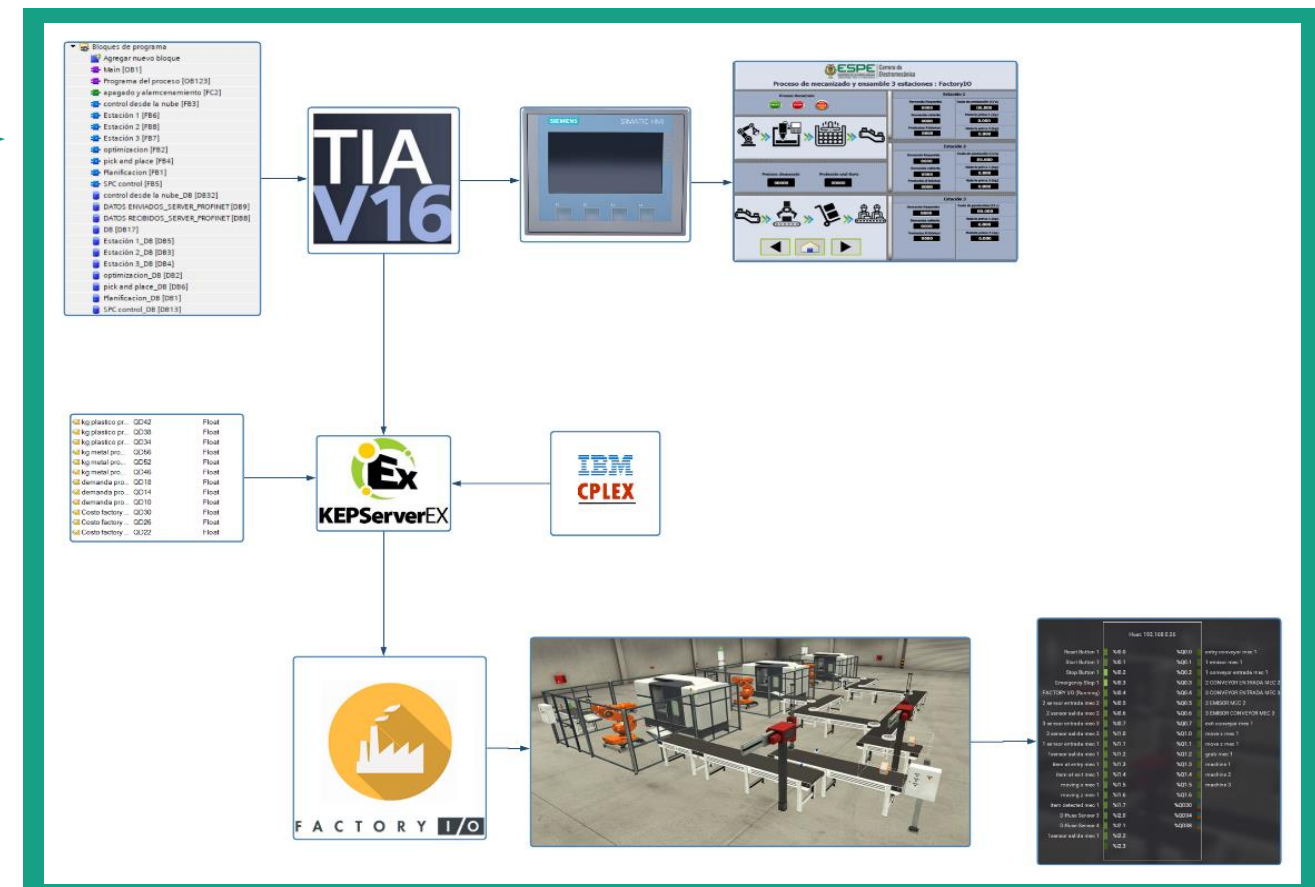
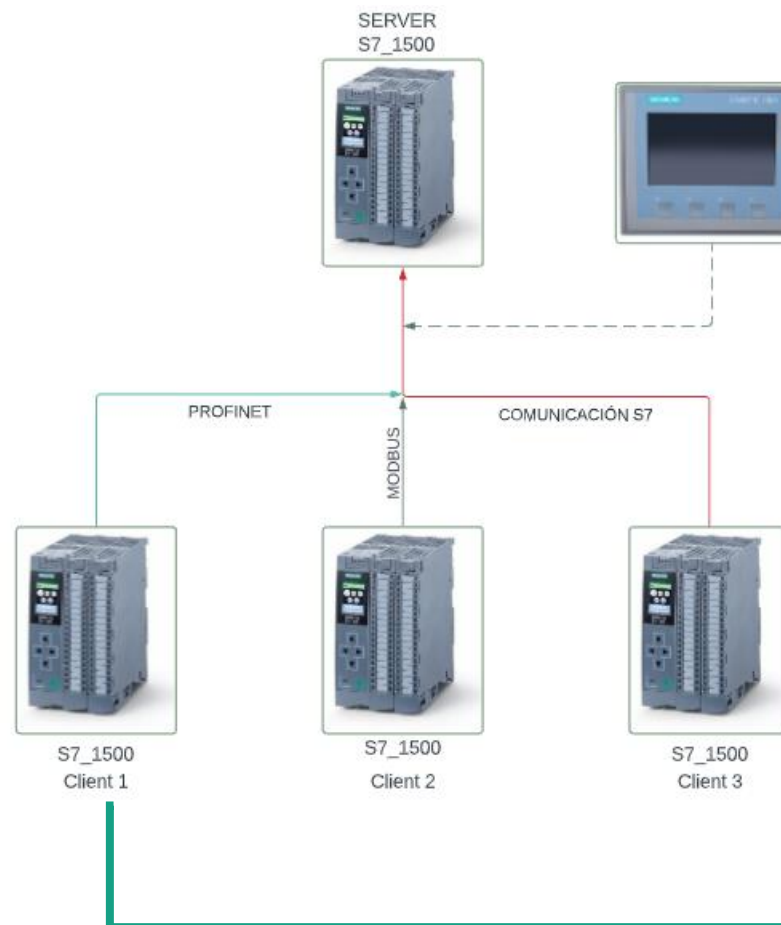


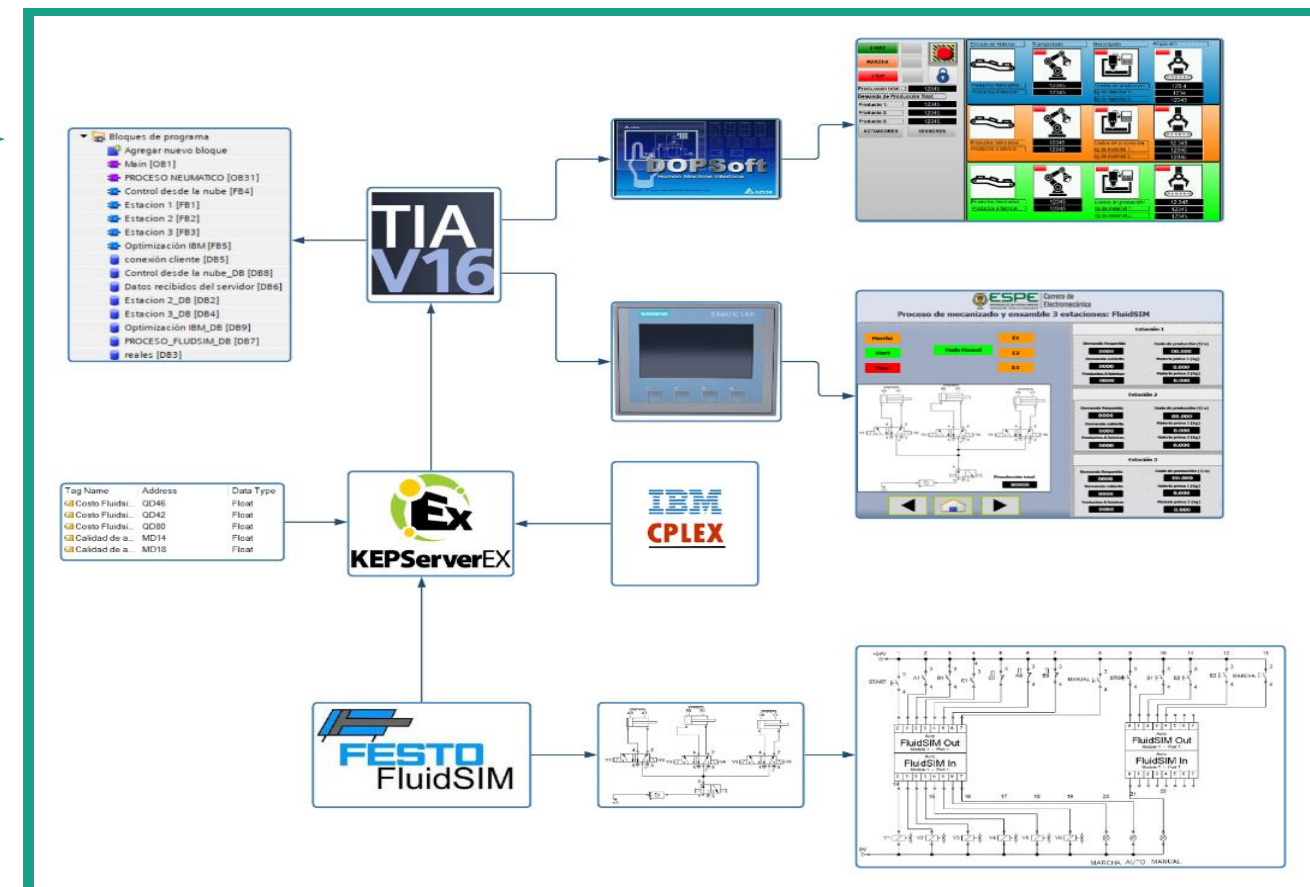
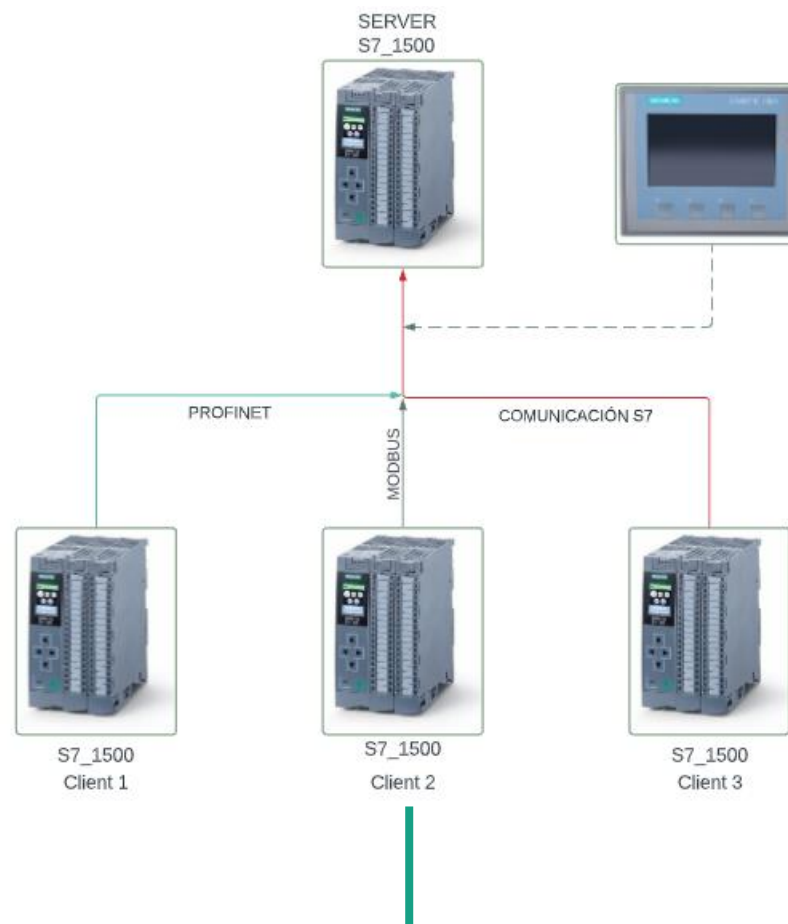
● Estructura de Comunicación del DCS

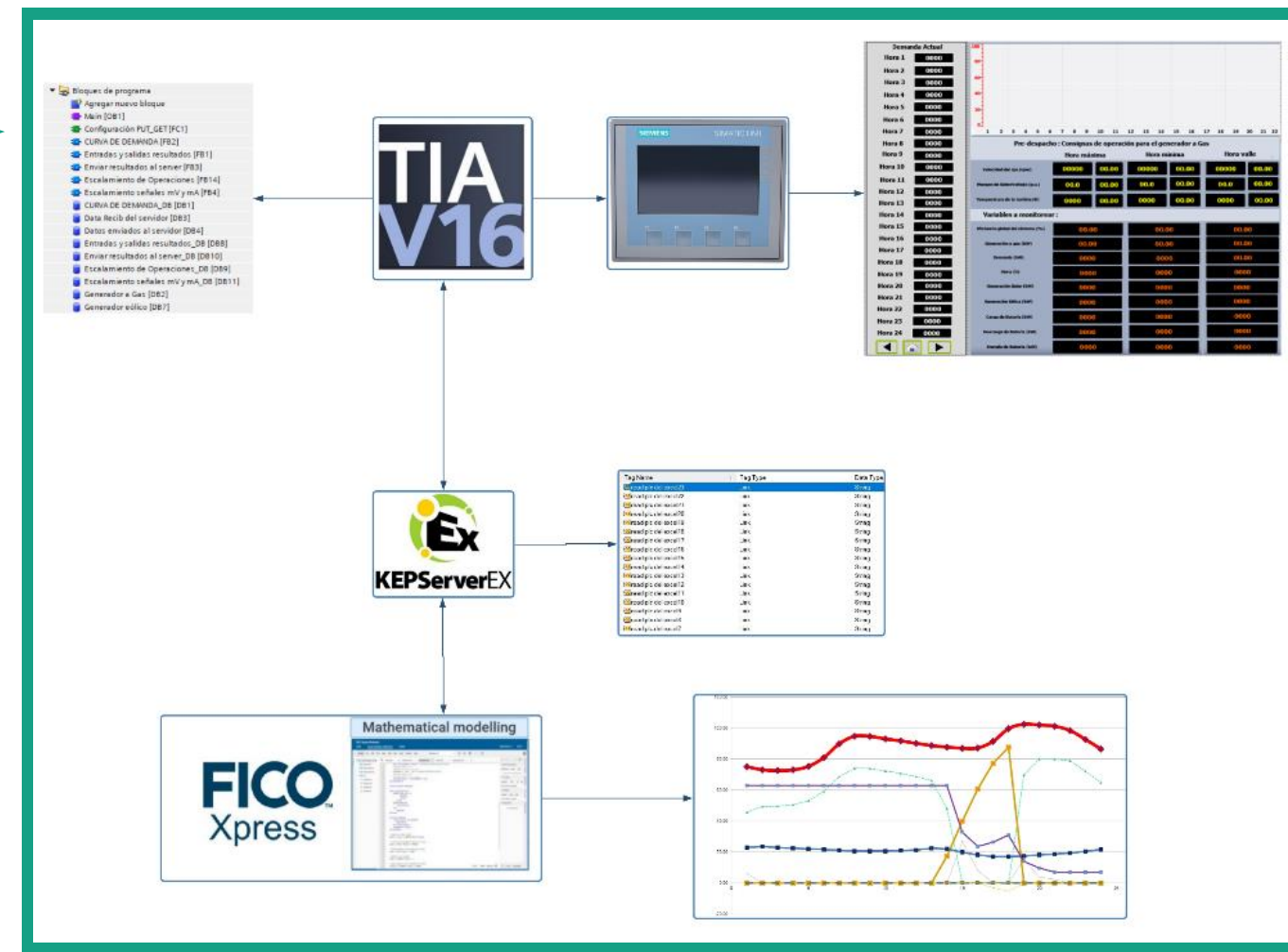
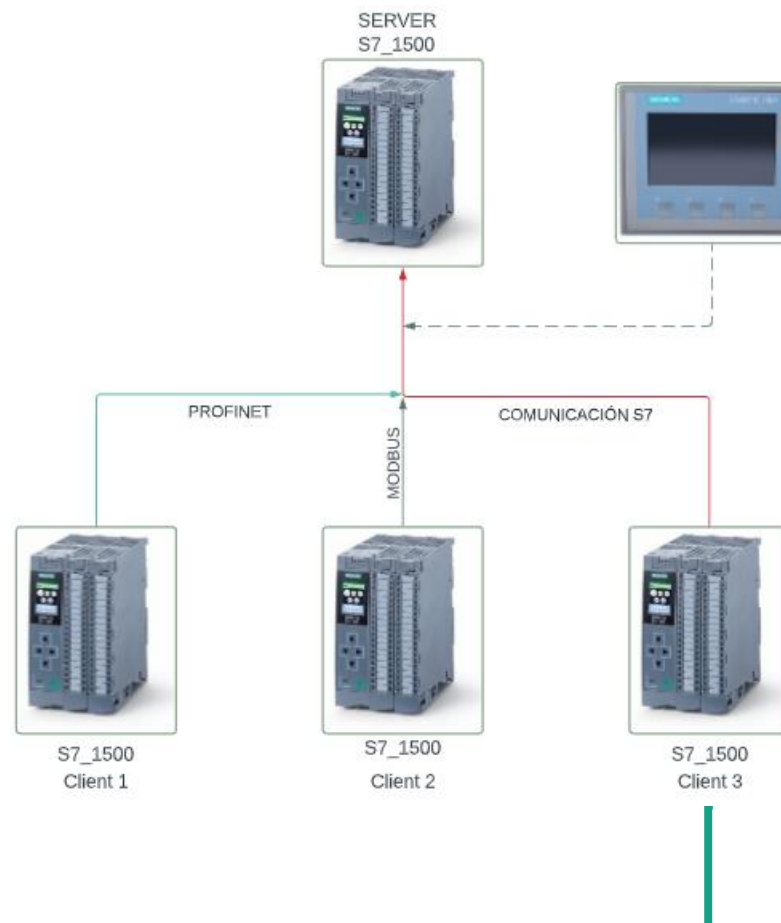


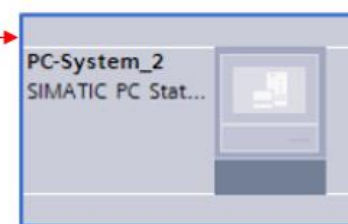
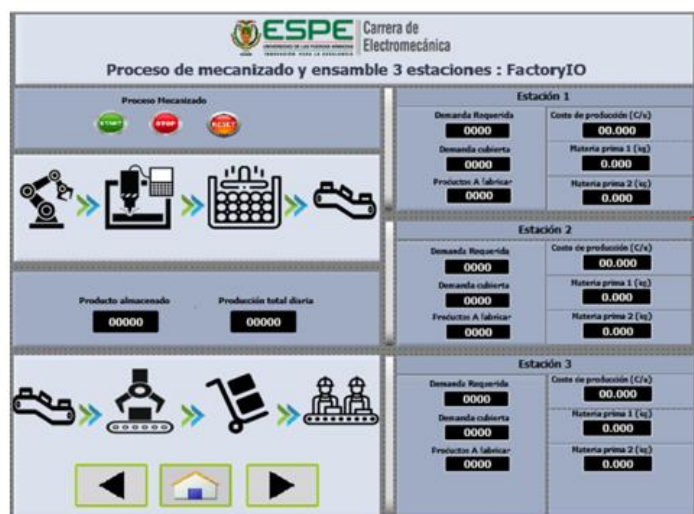
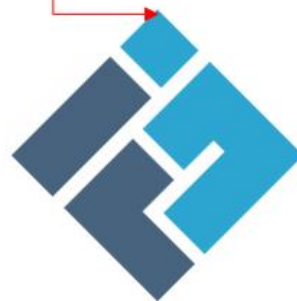
● Estructura de Comunicación del DCS con la Nube y la Base de Datos











Tag Name	Address	Data Type
kg plastico producto 3	QD42	Float
kg plastico producto 2	QD38	Float
kg plastico producto 1	QD34	Float
kg metal producto 3	QD56	Float
kg metal producto 2	QD52	Float
kg metal producto 1	QD46	Float
demandas producto 3	QD18	Float
demandas producto 2	QD14	Float
demandas producto 1	QD10	Float
Costo factory io producto 3	QD30	Float
Costo factory io producto 2	QD26	Float
Costo factory io producto 1	QD22	Float

Tag Name	Address	Data Type
demandas optimizadas estación 3	DB9,REAL10	Float
demandas optimizadas estación 2	DB9,REAL6	Float
demandas optimizadas estación 1	DB9,REAL2	Float

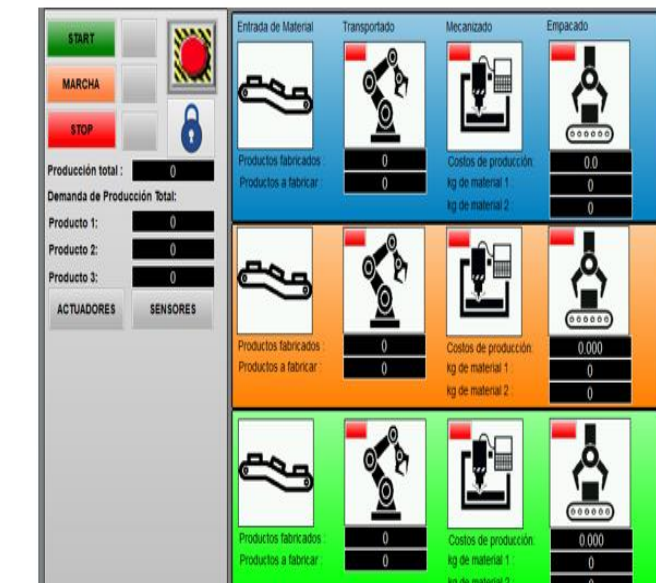
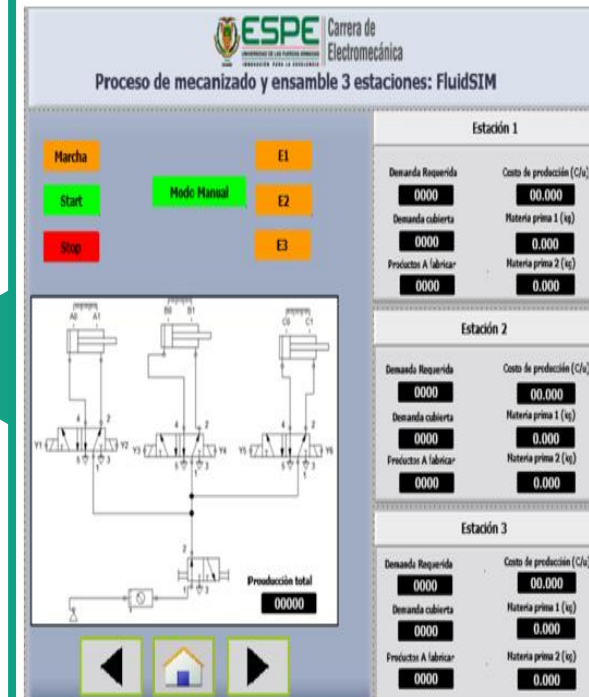
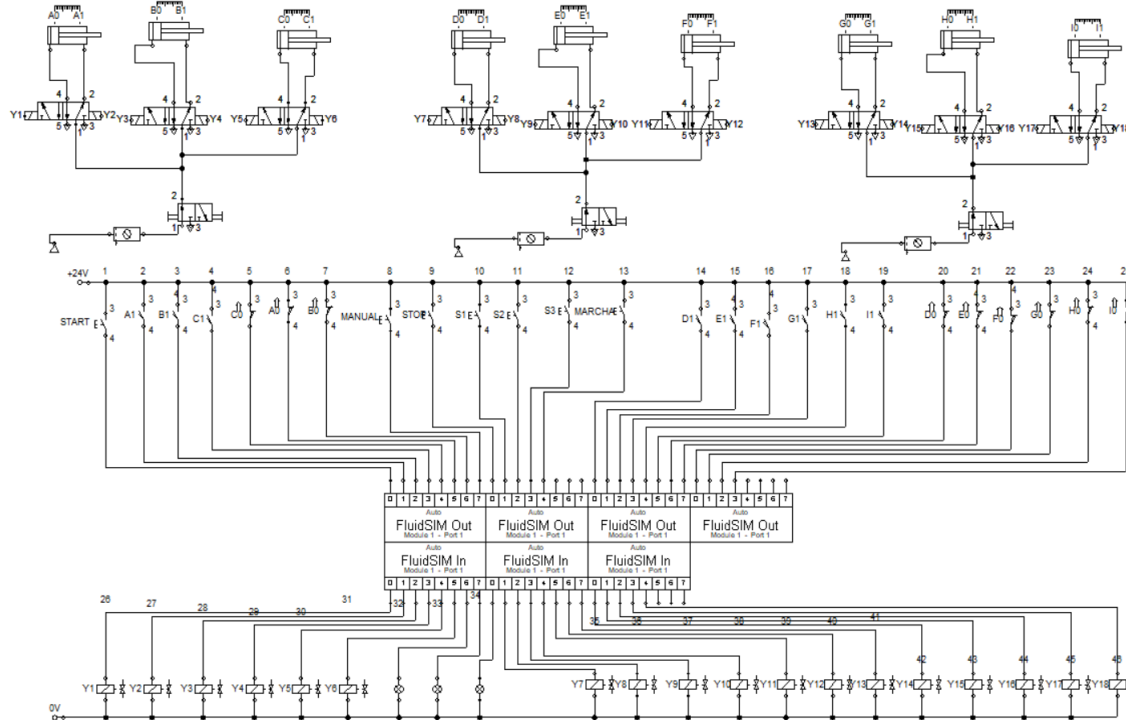
Tag Name	Tag Type
kg material plastico desde la nube producto 3	Link
kg material plastico desde la nube producto 2	Link
kg material plastico desde la nube producto 1	Link
kg material metal desde la nube producto 3	Link
kg material metal desde la nube producto 2	Link
kg material metal desde la nube producto 1	Link
demandas desde la nube producto 3	Link
demandas desde la nube producto 2	Link

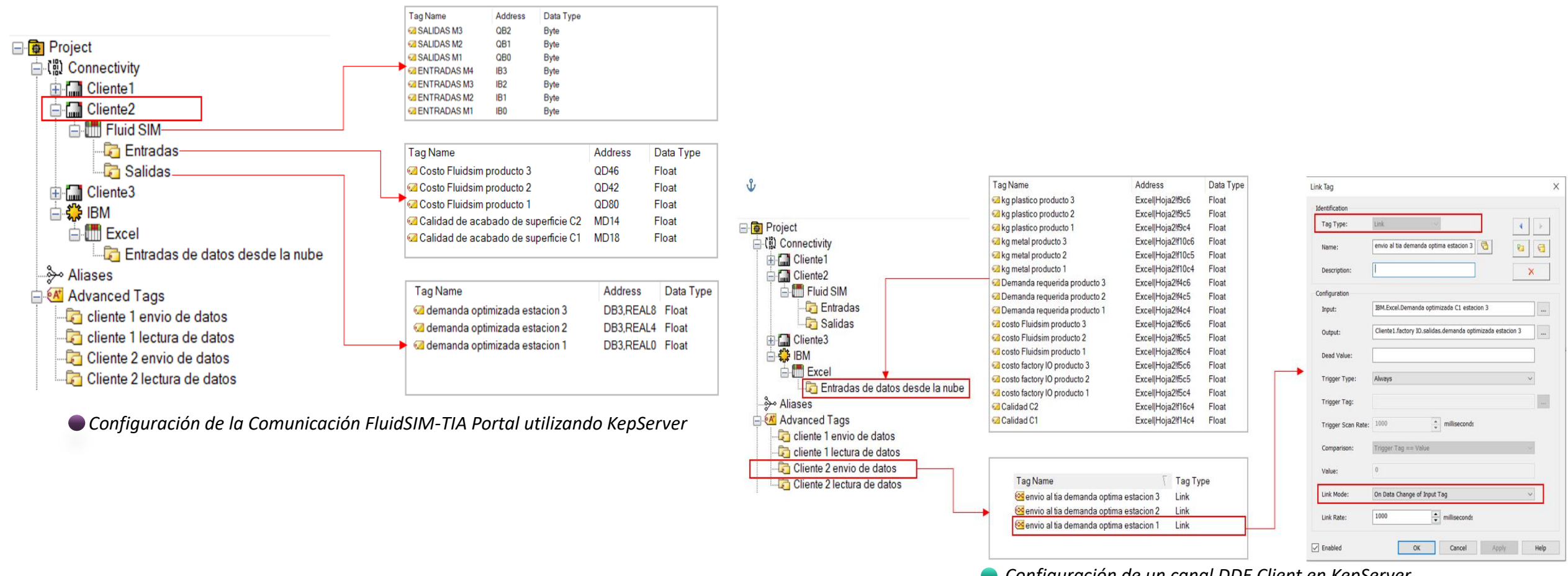
Configuración del canal DDE Client para el proceso del Cliente uno



Simulación de Procesos Industriales Proceso dos en FluidSIM: unidad de montaje y mecanizado

22

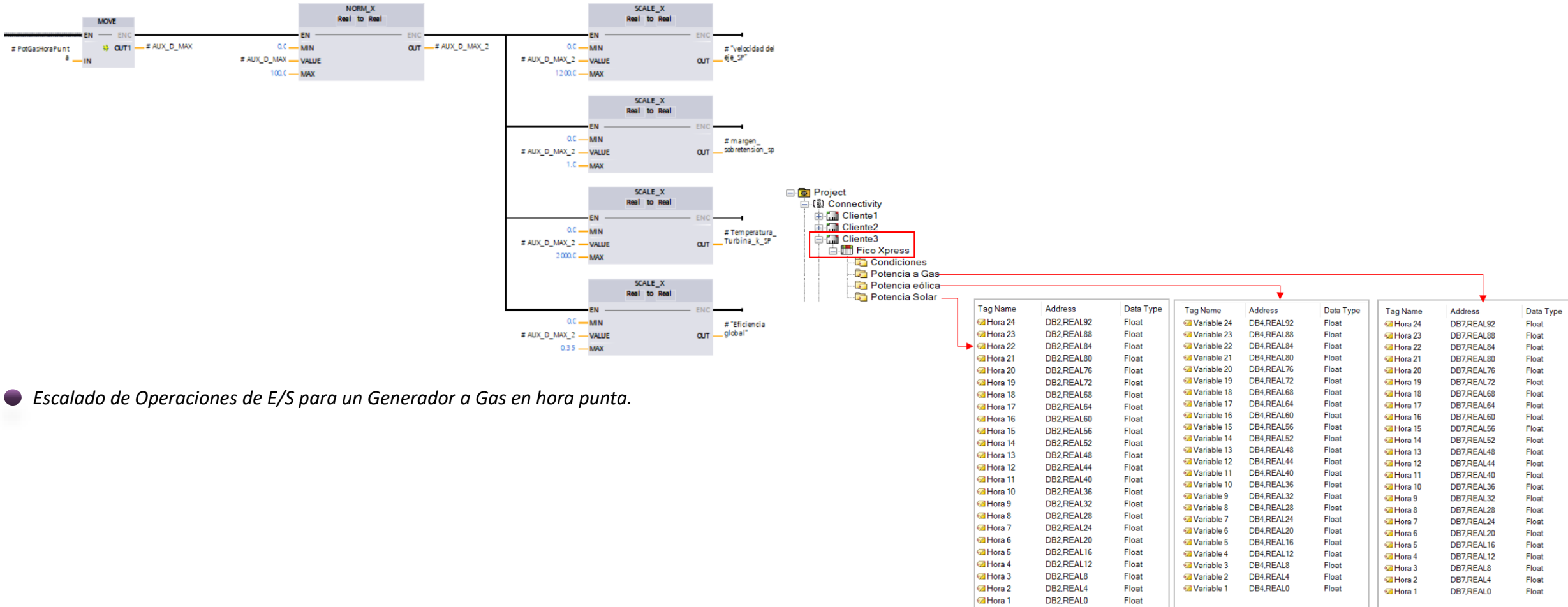




● Configuración de la Comunicación FluidSIM-TIA Portal utilizando KepServer

● Configuración de un canal DDE Client en KepServer





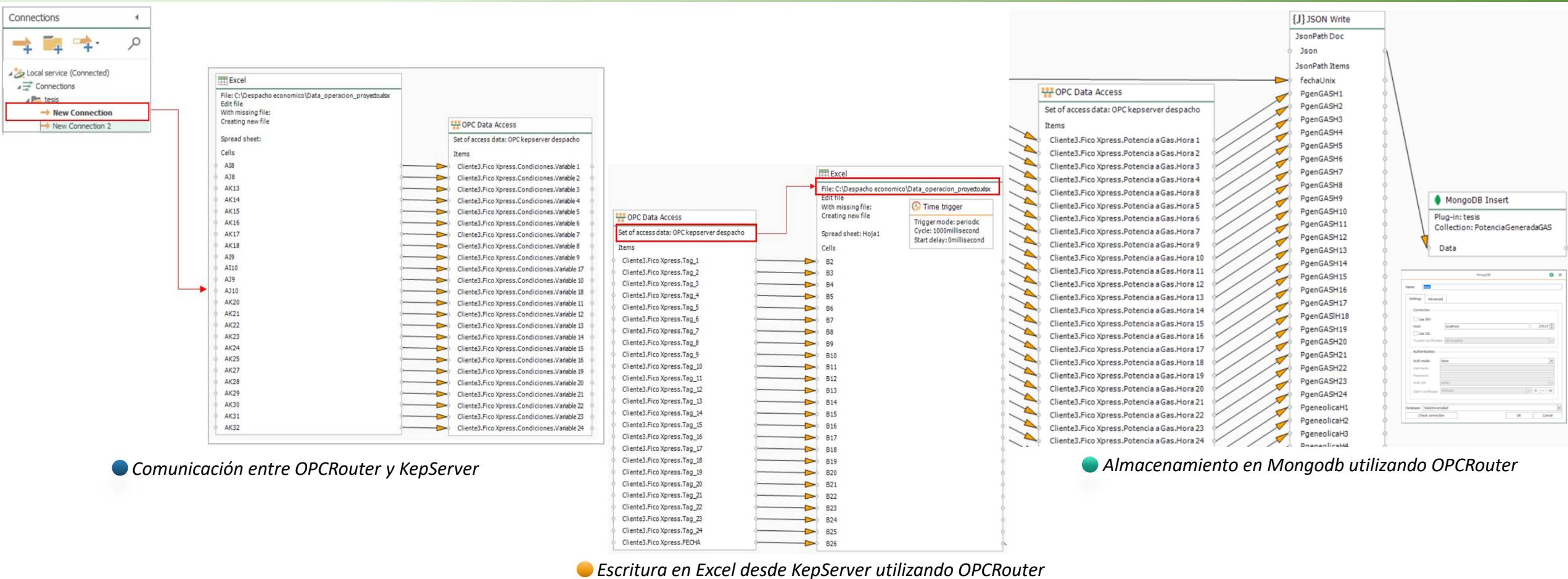
● Escalado de Operaciones de E/S para un Generador a Gas en hora punta.

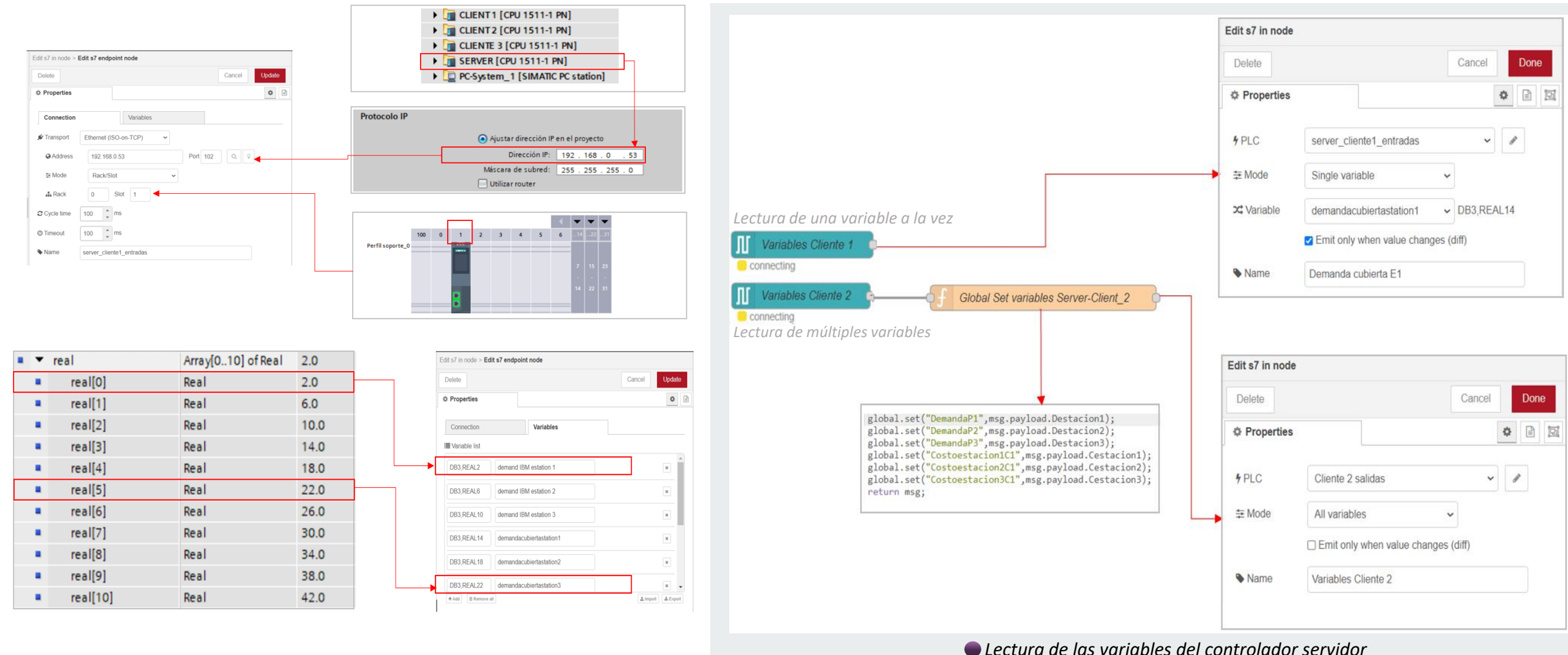
● Configuración del canal para la comunicación con el Cliente tres con KepServer



Simulación de Procesos Industriales Proceso tres Interno: activación de generadores

25

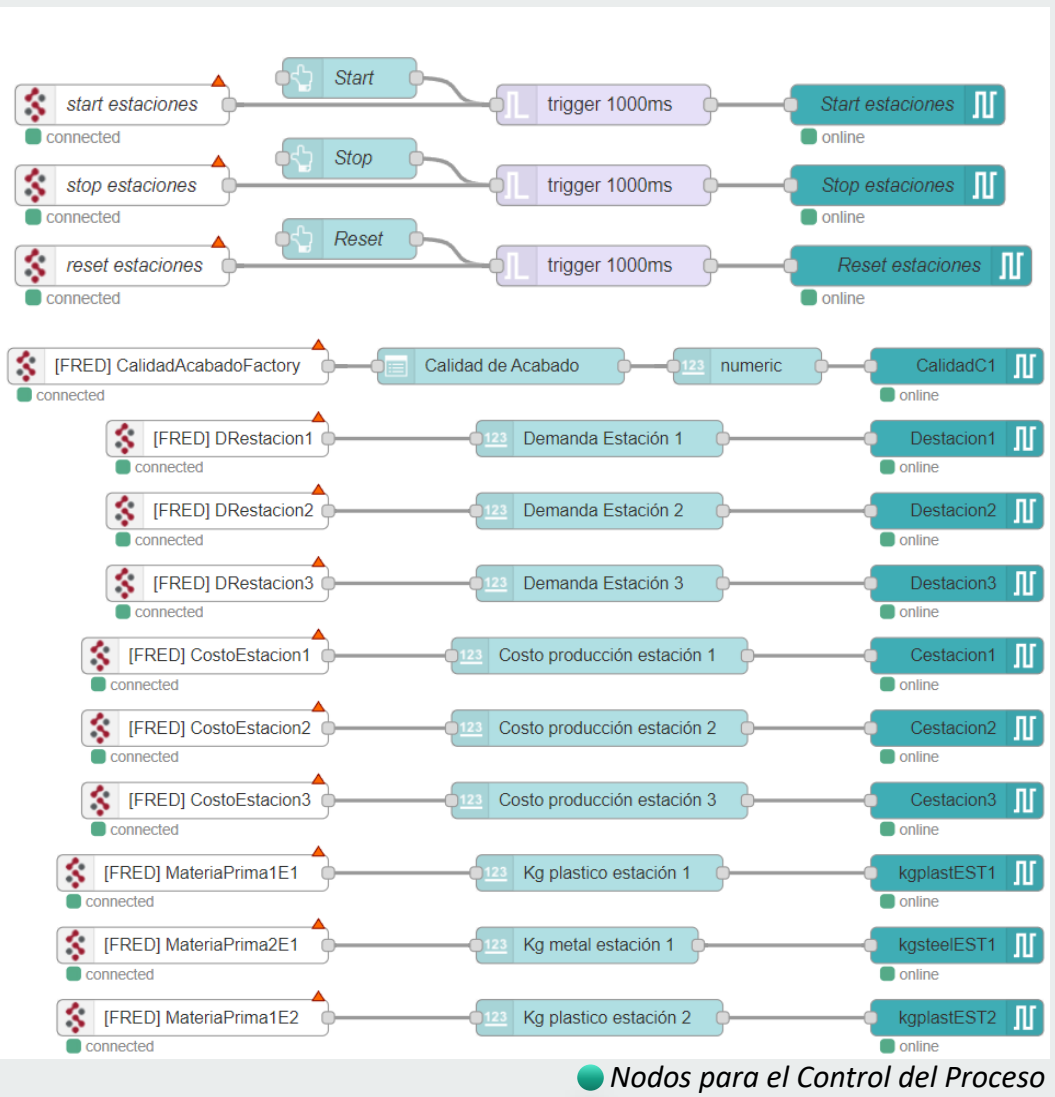


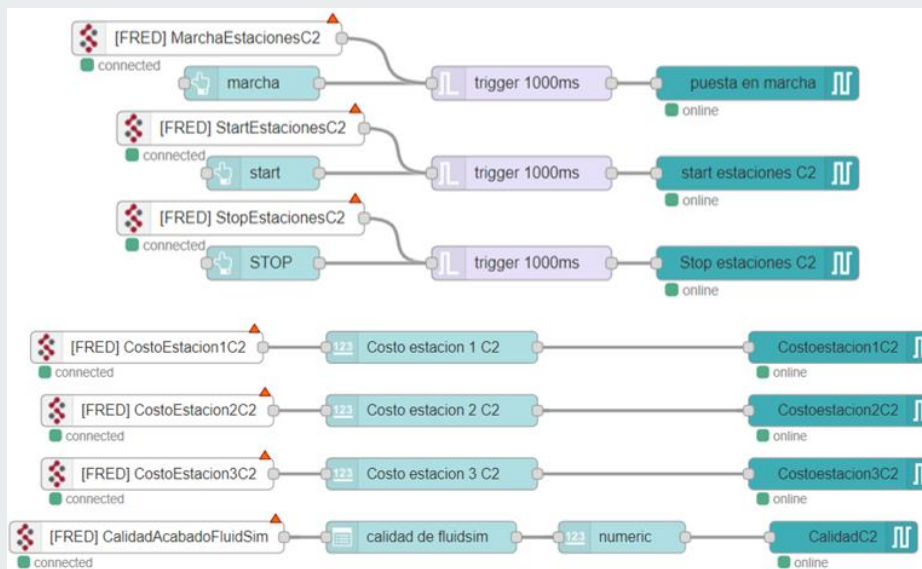


● Configuración y declaración de las variables de Entrada y Salida del Controlador

● Lectura de las variables del controlador servidor





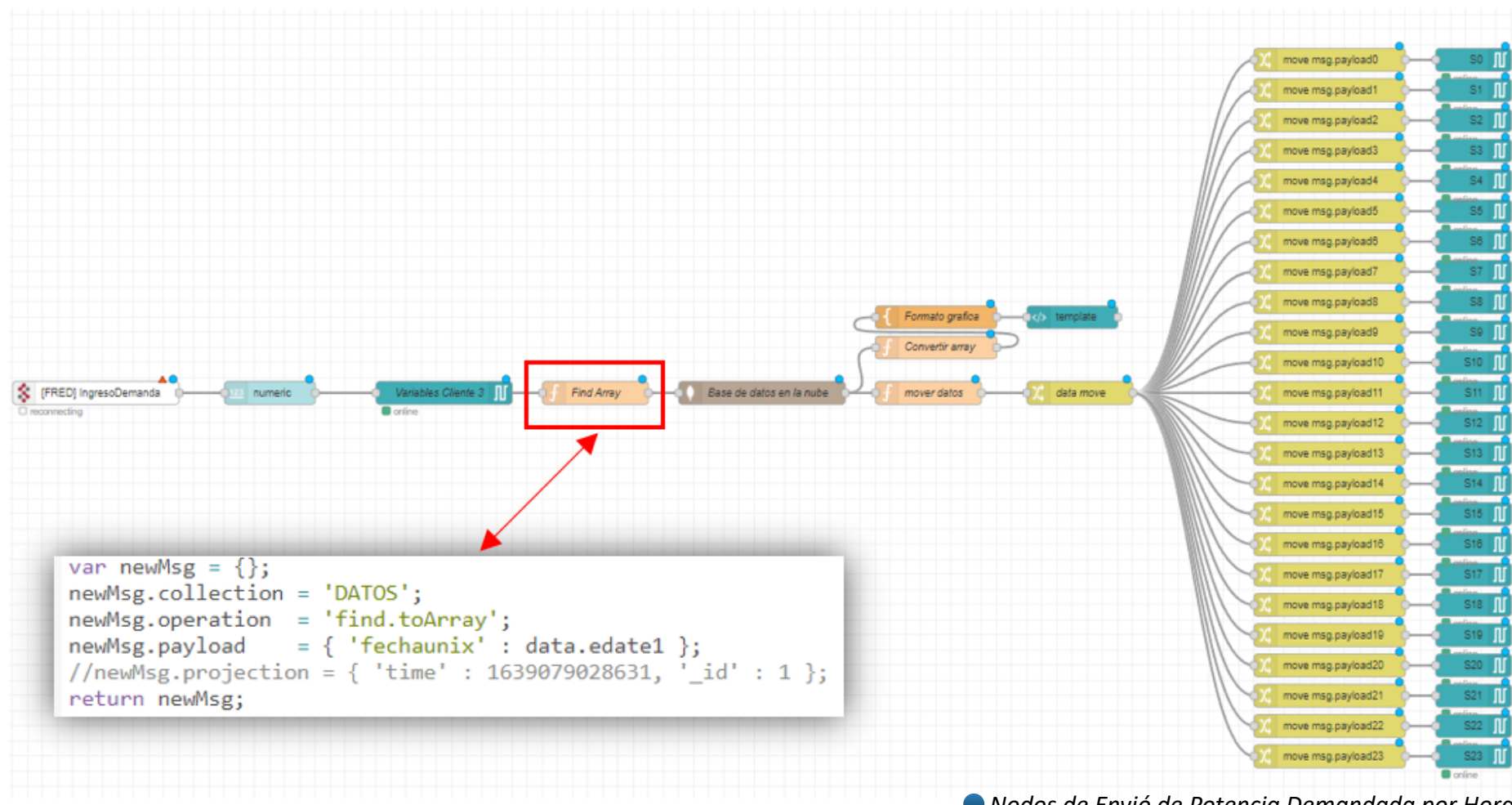


● Nodos para el Control del Proceso Implementado en FluidSIM-P



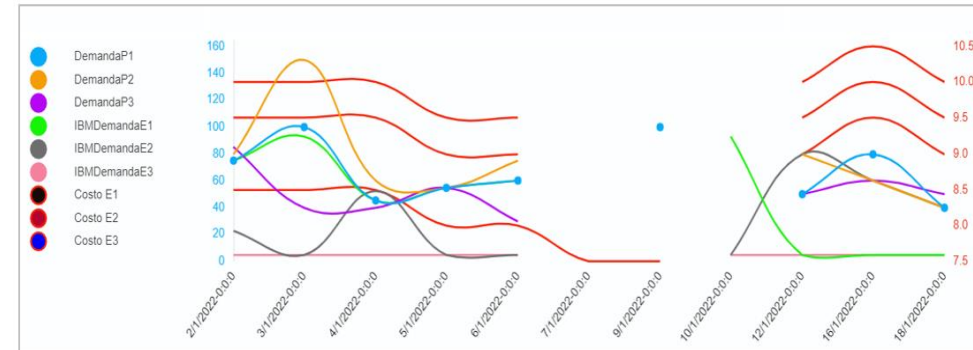
● Nodos de Monitoreo de Producción del Proceso Dos



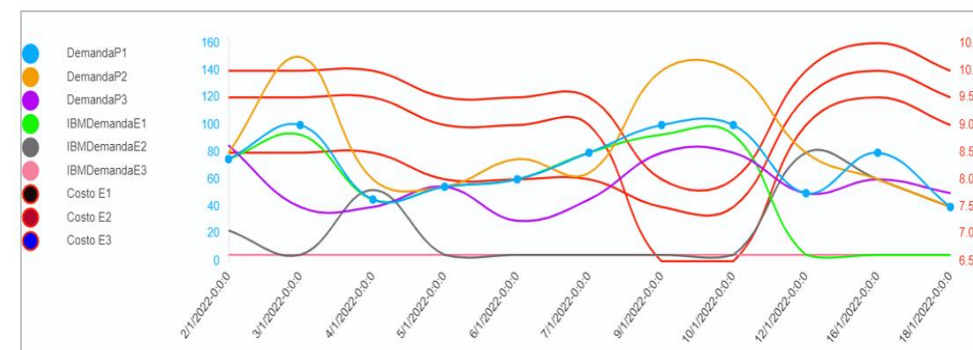


● Nodos de Envío de Potencia Demandada por Hora

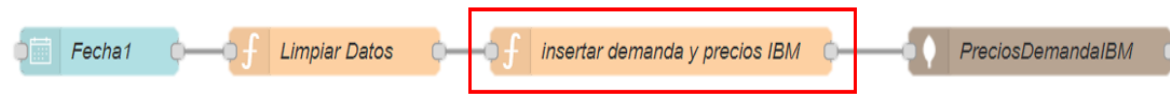




a) Sin el nodo de limpieza



b) Con el nodo de limpieza



```

data.edate1=msg.payload;
var newMsg = {};
newMsg.collection = 'PreciosDemandalBM';
newMsg.operation = 'insert';
//msg.payload = {time: Date.now(), name: 'PreciosDemandalBM'}
newMsg.payload = { 'time' : data.edate1 , 'costoTotal' : X0 , 'costoE1' :X1, 'costoE2' :X2, 'costoE3' :X3, 'costoE4' :X4,
'costoE5' :X5, 'costoE6' :X6, 'DemandaP1' :X7, 'Demandap2' :X8, 'DemandaP3' :X9, 'IBMDemandaE1' : X10, 'IBMDemandaE2' : X11,
'IBMDemandaE3' : X12, 'IBMDemandaE4' :X13, 'IBMDemandaE5' :X14, 'IBMDemandaE6' : X15};
//msg.payload.position = {time: 1639079200534, _id: 1}
return newMsg;
    
```

● Nodo para Insertar Datos en una instancia Mongodb

TesisUniversidad						
DATABASE SIZE: 335.97KB		INDEX SIZE: 272KB		TOTAL COLLECTIONS: 8		
Collection Name	Documents	Documents Size	Documents Avg	Indexes	Index Size	Index Avg
CurvaDemanda	408	69.07KB	174B	1	20KB	20KB
DATOS	408	34.25KB	86B	1	20KB	20KB
GraficadeControl	1	356B	356B	1	36KB	36KB
PLC	408	124.11KB	312B	1	36KB	36KB
PotenciaGenerada	192	19.76KB	106B	1	36KB	36KB

● Colecciones y documentos en Mongodb Atlas

Edit mongodb2 in node

Delete Cancel Done

Properties

Service: External service

Server: mongodb://cluster0-shard-00-00.6cowa...

Collection: PreciosDemandalBM

Operation: Dynamic (msg.operation)

Name: Base de datos Mongodb Atlas

Edit mongodb2 node > Edit mongodb2 node

Delete Cancel Update

URI: mongodb://hwcnldors25:henry08011996@cluste...

Name: Name

Username:

Password:

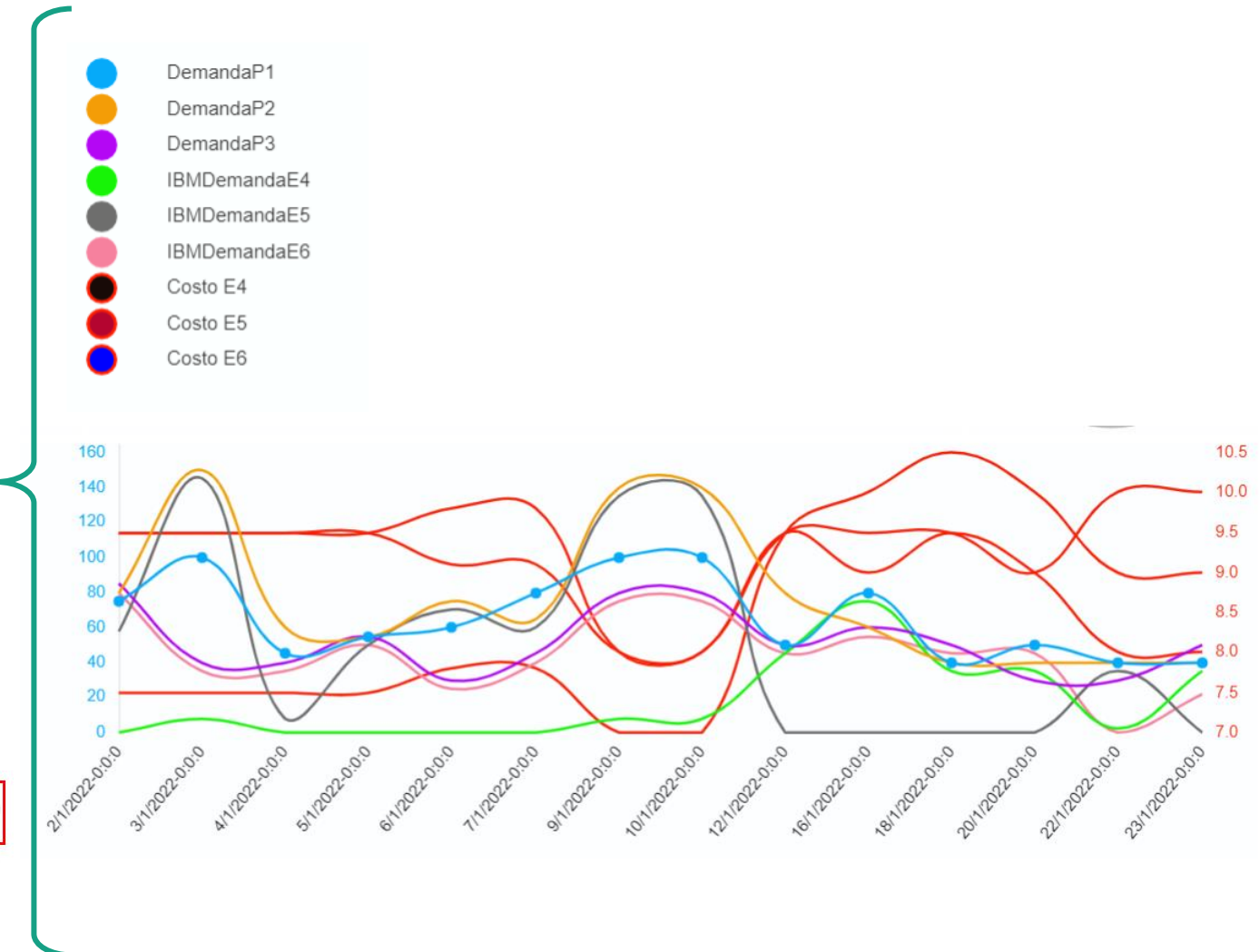
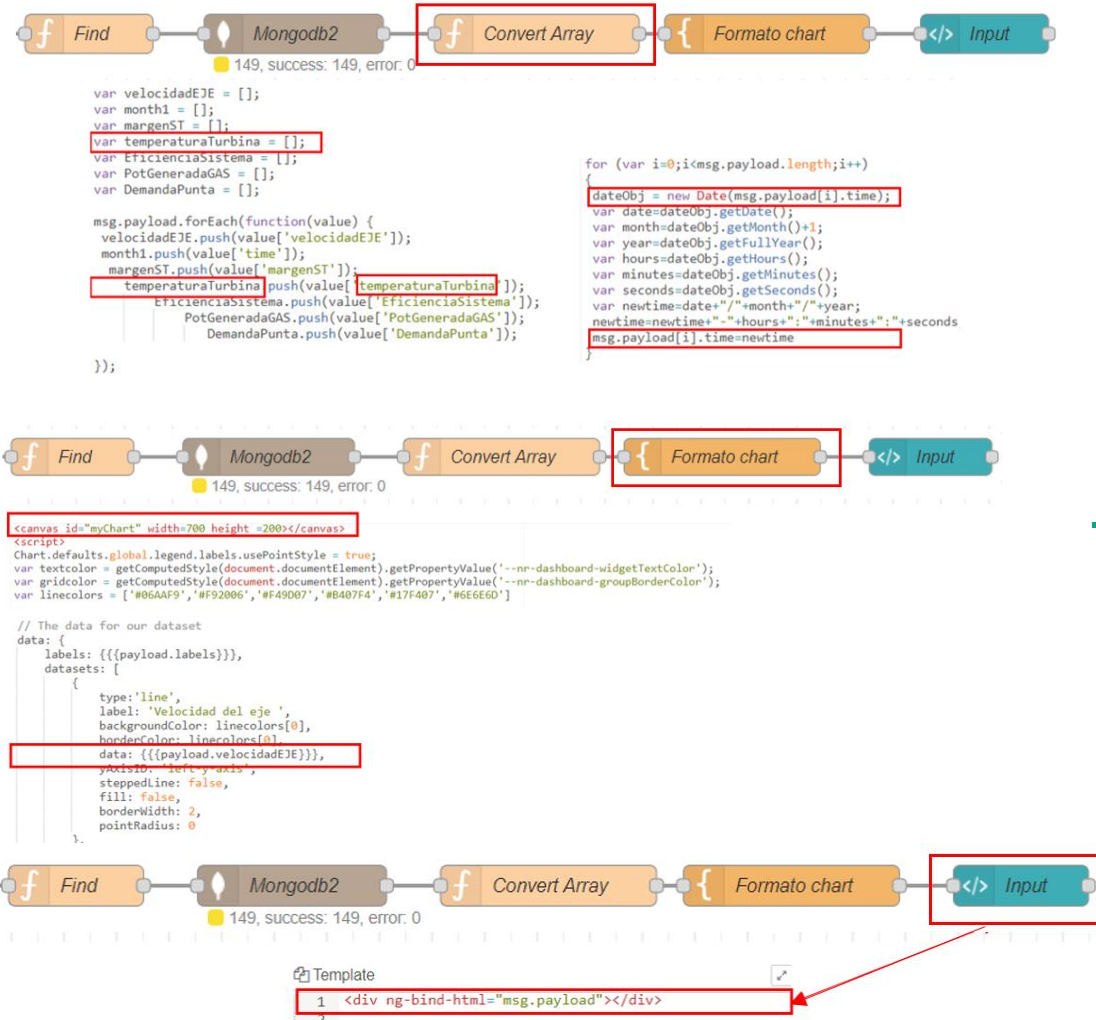
Connection Options: Stringified JSON

Parallelism Limit:

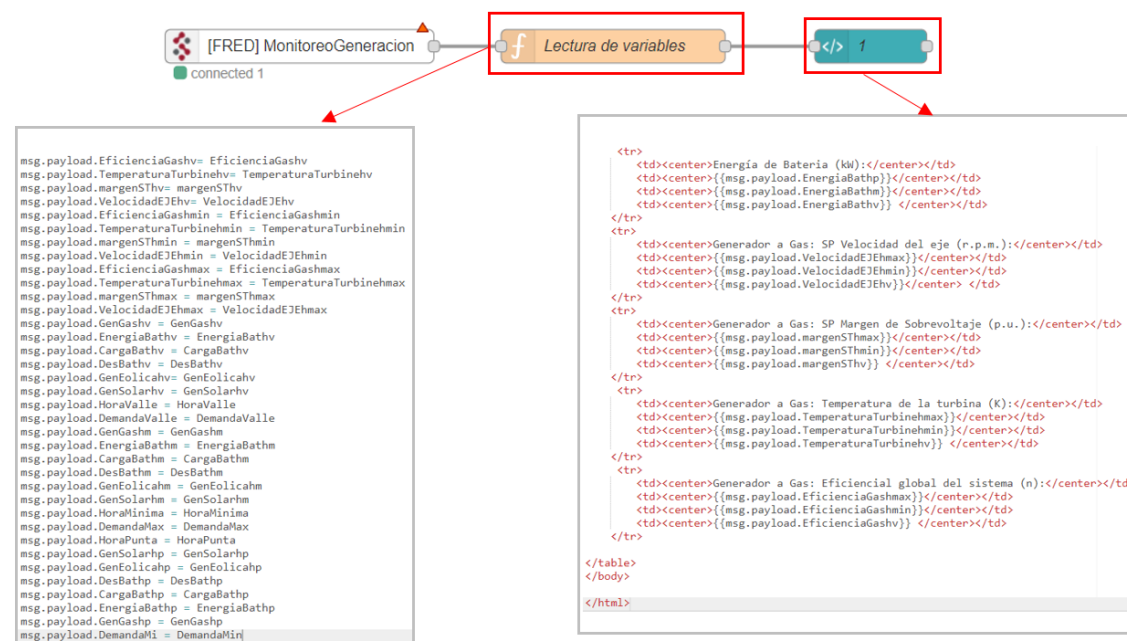
● Configuración del nodo mongodb2



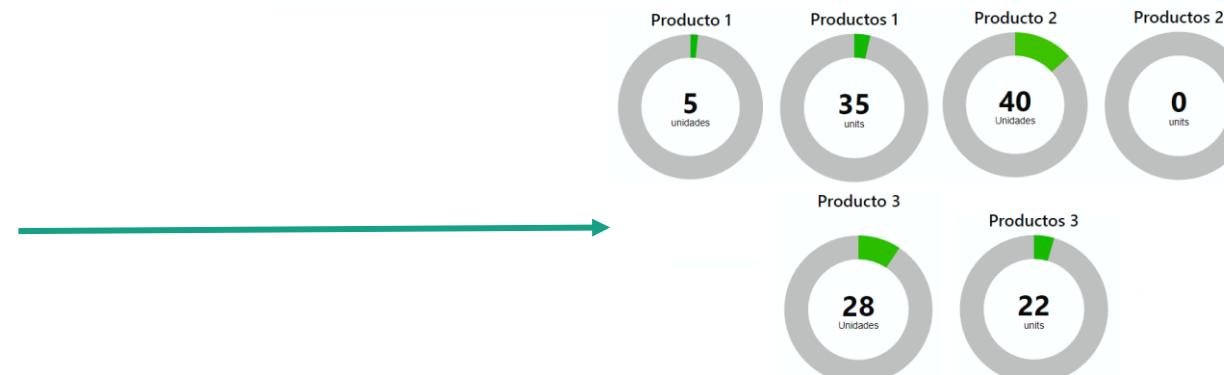
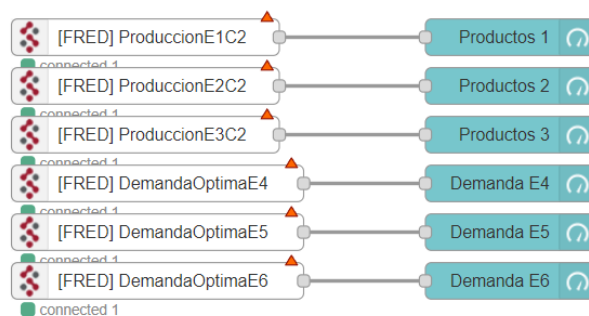
Nodos de Visualización en la Nube



Visualización en la Nube



Monitoreo	Hora Punta	Hora Minima	Hora Vale
Hora de medición (h) :	20	3	4
Demanda dada (kW) :	85.8387680053711	65.12989807128906	65.20789337158203
Generación Solar (kW):	0	0	0
Generación Eolica (kW):	18.222373962402344	23.041658401489258	22.478952407836914
Generación a Gas (kW):	67.61639404296875	42.08824157714844	42.728939056396484
Descarga de Bateria (kW):	0	0	0
Carga de Bateria (kW)	0	0	0
Energía de Bateria (kW):	56.07828140258789	63	63
Generador a Gas: SP Velocidad del eje (r.p.m.):	811.3966674804688	505.05889892578125	512.7472534179688
Generador a Gas: SP Margen de Sobrevoltaje (p.u.):	0.676163911819458	0.4208824038505554	0.4272893965244293
Generador a Gas: Temperatura de la turbina (K):	1352.327880859375	841.7648315429688	854.5787963867188
Generador a Gas: Eficiencia global del sistema (n):	0.23665736615657806	0.1473088413476944	0.14955128729343414



Costo total de un sistema con n estaciones de producción

$$\min C(U_E) = \sum_{i=1}^n C_E(U_{Ei})$$

$$\min C(U_E) = \sum_{t=1}^3 [C_{EF}(t) * U_{EF}(t) + C_{EFS}(t) * U_{EFS}(t)]$$

$$\sum_{t=1}^3 [A_{EF}(t) * U_{EF}(t)] \leq B_{EF}(t)$$

$$\sum_{t=1}^3 [T_{EF}(t) * U_{EF}(t) + T_{EFS}(t) * U_{EFS}(t)] \leq T_{diario}(t)$$

$$\sum_{t=1}^3 [U_{EF}(t) + U_{EFS}(t)] \geq D_{total}$$

$$\sum_{t=1}^3 [U_{EF}(t)] \geq D_{min}$$

$$U_{EF}, U_{EFS} \geq 0$$

Donde:

C_{EF} : Costos de producción en Factory IO

C_{EFS} : Costos de producción en FluidSIM

U_{EF} : Unidades a fabricar en Factory IO

U_{EFS} : Unidades a fabricar en

FluidSIM

$T_{EF}(t)$: Tiempo de fabricación por pieza en Factory IO

$T_{EFS}(t)$: Tiempo de fabricación por pieza en FluidSIM

T_{diario} : Tiempo maximo de operación día

D_{total} : Demanda diaria requerida

D_{min} : Producción mínima en Factory IO

A_{EF} : Cantidad de material a consumir por pieza en Factory IO

B_{EF} : Disponibilidad total de materia prima en Factory IO



Demanda de los clientes

Restricciones de fábrica 1

Mayor disponibilidad de recursos

Costos más baratos

Producción 1



Restricciones de fábrica 2

Maquinaria más eficiente
Fabricación más rápida

Producción 2



Producción = Demanda de los clientes

Producción 1 + Producción 2= Demanda de los clientes



```

    graph TD
        subgraph Left [Proyectos OPL]
            direction TB
            A[factoryio (A simple production model, MILP)] --> B[Configuraciones de ejecución]
            B --> C[Basic Configuration (predeterminado)]
            C --> D[production.mod : CPLEX]
            D --> E[production.dat]
            E --> F[writeEXCEL.dat]
        end

        subgraph Middle [Proyectos OPL]
            direction TB
            A[factoryio (A simple production model, MILP)] --> B[Configuraciones de ejecución]
            B --> C[Basic Configuration (predeterminado)]
            C --> D[production.mod : CPLEX]
            D --> E[production.dat]
            E --> F[writeEXCEL.dat]
        end

        subgraph Right [Proyectos OPL]
            direction TB
            A[factoryio (A simple production model, MILP)] --> B[Configuraciones de ejecución]
            B --> C[Basic Configuration (predeterminado)]
            C --> D[production.mod : CPLEX]
            D --> E[production.dat]
            E --> F[writeEXCEL.dat]
        end

        subgraph Bottom [Proyectos OPL]
            direction TB
            A[factoryio (A simple production model, MILP)] --> B[Configuraciones de ejecución]
            B --> C[Basic Configuration (predeterminado)]
            C --> D[production.mod : CPLEX]
            D --> E[production.dat]
            E --> F[writeEXCEL.dat]
        end
    
```

The diagram illustrates the structure of an OPL project for a production planning model. It shows four identical project structures side-by-side, each with a 'factoryio' folder containing a 'Configuraciones de ejecución' folder. Within this folder is a 'Basic Configuration (predeterminado)' folder, which contains a 'production.mod' file (highlighted with a red box). This 'production.mod' file is linked to 'production.dat' and 'writeEXCEL.dat'. Red arrows point from the 'production.mod' files in the first three boxes to the 'writeEXCEL.dat' files in the bottom box, indicating a dependency or flow between them.

Code Snippets:

- Left Box (production.mod):**

```

13 {string} Productos = ...;
14 {string} Recursos = ...;
15
16 float Consumo[Productos][Recursos] = ...;
17 float Capacidad[Recursos] = ...;
18 float TiempoTotalDia[Productos] = ...;
19 float TiempoUnidad[Productos] = ...;
20 float TiempoTotalDiaFS[Productos] = ...;
21 float TiempoUnidadFS[Productos] = ...;
22 float ProduccionMinima[Productos] = ...;
23 float DemandaDia[Productos] = ...;
24 float costoProduccionfactory[Productos] = ...;
25 float costoProduccionFluidsim[Productos] = ...;
26
27 dvar float+ Factory[Productos];
28 dvar float+ Fluidsim[Productos];
29

```
- Middle Box (production.mod):**

```

36 minimize
37 sum( p in Productos )
38 ( costoProduccionfactory[p] * Factory[p] + costoProduccionFluidsim[p] * Fluidsim[p] );
39
40 subject to {
41 // restricciòn de consumo
42 forall( r in Recursos )
43 ctCapacidad:
44 sum( p in Productos )
45 Consumo[p][r] * Factory[p] <= Capacidad[r];
46
47 // restricciòn de tiempo de fabricaciòn
48 forall(p in Productos)
49 ctTiempodeProduccion:
50 TiempoUnidadFS[p]*Fluidsim[p] + TiempoUnidad[p]*Factory[p] <= TiempoTotalDiaFS[p];
51
52 forall(p in Productos)
53 // restricciòn de demanda requerida
54 ctDemandaDia:
55 Factory[p] + Fluidsim[p] >= DemandaDia[p];
56
57 // restricciòn de producciòn minima
58 ctDemandaMinima:
59 forall(p in Productos)
60 Factory[p] >= ProduccionMinima[p];
61
62
63
64 }

```
- Bottom Box (writeEXCEL.dat):**

```

7 SheetConnection excelsheet("DATOS.xlsx");
8 // Escribir Resultados
9 Factory to SheetWrite(excelsheet,"Hoja2!I4:I7");
10 Fluidsim to SheetWrite(excelsheet,"Hoja2!J4:J7");
11 // Lectura de variables
12 DemandaDia from SheetRead(excelsheet,"Hoja2!D4:F4");
13 costoProduccionfactory from SheetRead(excelsheet,"Hoja2!D6:F6");
14 costoProduccionFluidsim from SheetRead(excelsheet,"Hoja2!D5:F5");
15 Capacidad from SheetRead(excelsheet,"Hoja2!I8:J8");
16
17 TiempoUnidad from SheetRead(excelsheet,"Hoja2!D14:F14");
18 TiempoTotalDia from SheetRead(excelsheet,"Hoja2!D15:F15");
19 TiempoUnidadFS from SheetRead(excelsheet,"Hoja2!D16:F16");
20 TiempoTotalDiaFS from SheetRead(excelsheet,"Hoja2!D17:F17");
21 ProduccionMinima from SheetRead(excelsheet,"Hoja2!D18:F18");

```

$$\min C(P_G) = \sum_{i=1}^n C_i (P_{Gi})$$

$$\min C(P_G) = \sum_{t=1}^{24} (C_{GD} * P_{GD}(t) + C_{GG} * P_{GG}(t) + C_{NS} * P_{NS}(t) + 0.8 * P_{VS}(t) + 0.8 * P_{VE}(t))$$

s. a. $\sum_{i=1}^n P_{Gi} = P_D^{Total} + P_{perd}$ $P_{Gi}^{min} < P_{Gi} < P_{Gi}^{max}$ $i \in \{1, \dots, n\}$

$$\sum_{t=1}^{24} = [P_{GD}(t) + P_{GG}(t) + P_{GS}(t) + P_{GE}(t) + P_{BD}(t) = D(t) + P_{VE}(t) + P_{VS}(t) - P_{NS}(t) - P_{BC}(t)]$$

$$P_{GD}^{min} \geq P_{GD}(t) \leq P_{GD}^{max}$$

$$P_{GG}^{min} \geq P_{GG}(t) \leq P_{GG}^{max}$$

$$P_{VE}(t) \leq P_{GE}(t)$$

$$P_{VS}(t) \leq P_{GS}(t)$$

$$P_{BC}(t) \geq -P_{BC}^{inst}$$

$$P_{BC}(t) \leq P_{BC}^{inst}$$

Donde:

$P_{GD}(t)$ = Potencia de generación a Diésel.

$P_{GG}(t)$ = Potencia de generación a Gas.

$P_{GS}(t)$ = Potencia de generación Solar.

$P_{GE}(t)$ = Potencia de generación Eólica.

$P_{NS}(t)$ =Potencia no suministrada.

$P_{VS}(t)$ =Potencia de vertimiento Solar.

$P_{VE}(t)$ =Potencia de vertimiento Eólico.

$P_{BC}(t)$ =Potencia de carga de Baterías.

$P_{BD}(t)$ = Potencia de descarga de Baterías.

P_D^{Total} = Potencia total demandada.

P_{perd} = Perdida de potencia.

P_{Gi} =Potencia de generación.

P_{Gi}^{min} =Potencia de generación mínima.

P_{Gi}^{max} =Potencia de generación máxima.



Modelo de Optimización

Despacho económico: Resolución en Fico Xpress

```

declarations
P_GD, P_GG, X_GD, X_GG, P_VS, P_VE, P_NS, P_BD, P_BC, X_BD, X_BC, E, SOC : array(1..24) of mpvar
objetive:=linctr
balance:array(1..24) of linctr
!parametros
D:array(1..24) of real
Ir:array(1..24) of real
v:array(1..24) of real
Cp:array(1..24) of real
Costo: real
Cost_GD=0.15 ! [usd/kw] Costos de Generación Diesel
Cost_GG=0.06 ! [usd/kw] Costos de Generación Gas
!Datos para Generación Solar [100 kW]
A_total=684.4662 !m^2
A_panel=0.99198 !m^2 (1485 * 668)mm^2
n_panel=0.1592 ! rendimiento del panel
n_inst=0.85 ! rendimiento de la instalación
P_GS_nom=100 ! [kW]
P_GS_panel=0.15 ! [kW]
!Datos para Generación Eólica [20 kW]
P_GE_nom=20 !kW 20
P_GE_turbina=3 !kW
den=1.2754 ! [kg/m^3]; densidad a nivel mar
A_barriodo=11.34 !m^2
Cost_NS= 0.8 !Costo de energía no suministrado
!Baterías
Eo= 70 ! Puede cambiar, es un punto de operación
n_BC=0.9 ! Rendimiento de la Batería en Carga
n_BD=0.9 ! Rendimiento de la Batería en Descarga
P_B_inst=70 ! Potencia máxima de la Bat. Instalada
!P_GD_max=100 !kW, P_GG_max=80 !kW; Generador Diesel y Gas
P_GD_max:real
P_GG_max:real
P_GD_min:real
P_GG_min:real
end-declarations

```

Variables Función Objetivo

Parámetros provenientes de Excel

● Declaración de Parámetros de los Generadores y

Variables de Decisión en FICO XPRESS

```

initializations from 'mmsheet.xlsx':+Data
U as "skip;noindex;U"
Ir as "skip;noindex;Ir"
v as "skip;noindex;v"
Cp as "skip;noindex;Cp"
P_GD_max as "[Hoja1$B29]"
P_GG_max as "[Hoja1$C29]"
P_GD_min as "[Hoja1$D29]"
P_GG_min as "[Hoja1$E29]"
end-initializations

```

● Lectura de parámetros desde Excel hacia Fico Xpress

```

!Función Objetivo
objetive:= sum(t in 1..24)(Cost_GD*P_GD(t))+sum(t in 1..24)(Cost_GG*P_GG(t))+sum(t in 1..24)(Cost_NS*P_NS(t))+ sum(t in 1..24)(0.8*P_VS(t))+sum(t in 1..24)(0.8*P_VE(t))

```

```

forall (t in 1..24) do
P_BC(t) is_free ! Cuando va a tener valores negativos
if t=1 then
    E(1)=Eo-n_BC*P_BC(1)-(P_BD(1)/n_BD)
    E(1)+P_B_inst
    SOC(1)=E(1)/P_B_inst
else
    E(t)=E(t-1)-(n_BC*P_BC(t))-(P_BD(t)/n_BD)
    E(t)+P_B_inst
    SOC(t)=E(t)/P_B_inst
endif
end-do

```

```

!Sujeto a:
forall (t in 1..24) do
P_GS(t):=n_panel*n_inst*A_panel*(P_GS_nom/P_GS_panel)*Ir(t) !Modelo Generador Solar
P_GE(t):=(0.5*(den*A_barriodo*v(t)^3*(P_GE_nom/P_GE_turbina))*Cp(t))/1000 !Modelo Generador Eólico
balance(t):=P_GD(t)+P_GG(t)+P_GS(t)+P_GE(t)+P_BD(t)-D(t)+P_VE(t)+P_VS(t)-P_NS(t)-P_BC(t)

```

```

X_GD(t) is_binary
X_GG(t) is_binary
P_GD(t)<=P_GD_max*(X_GD(t))
P_GG(t)<=P_GG_max*(X_GG(t))
P_GD(t)>=P_GD_min*(X_GD(t))
P_GG(t)>=P_GG_min*(X_GG(t))
P_VE(t)<=P_GE(t)
P_VS(t)<=P_VS(t)
X_BC(t) is_binary
X_BD(t) is_binary
X_BC(t)+X_BD(t)<=1
0>=P_BC(t)
0<=P_BD(t)
P_BC(t)<= (P_B_inst)*(X_BC(t))
P_BD(t)<= (P_B_inst)*(X_BD(t))
SOC(t)>=0.1
SOC(t)<=0.9
end-do

```

● Restricciones de potencia mínima y máxima

```

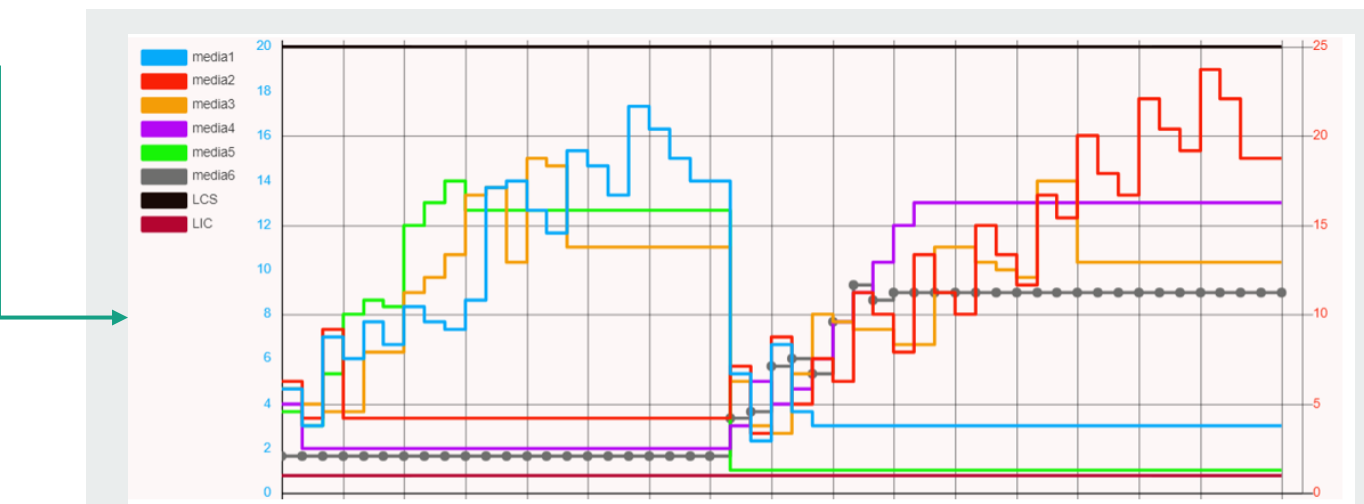
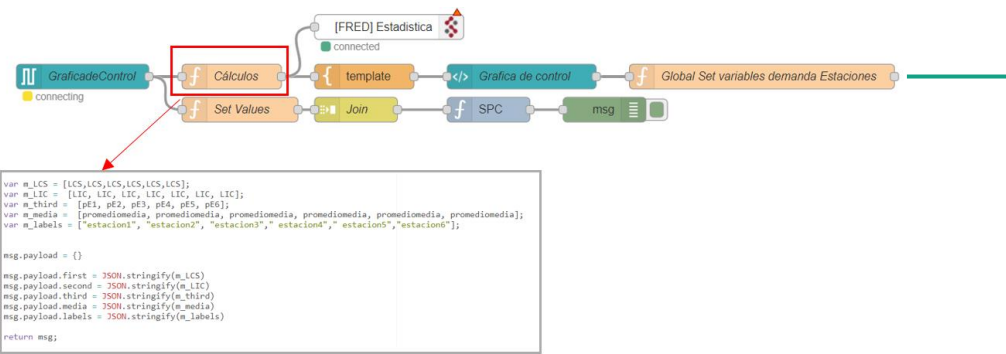
minimise(XPRS_BAR, objetivo)
forall (t in 1..24) do
P_GD_sol(t):=getsol(P_GD(t))
P_GG_sol(t):=getsol(P_GG(t))
X_GD_sol(t):=getsol(X_GD(t))
X_GG_sol(t):=getsol(X_GG(t))
P_VS_sol(t):=getsol(P_VS(t))
P_VE_sol(t):=getsol(P_VE(t))
P_NS_sol(t):=getsol(P_NS(t))
P_BC_sol(t):=getsol(P_BC(t))
P_BD_sol(t):=getsol(P_BD(t))
E_sol(t):=getsol(E(t))
X_BC_sol(t):=getsol(X_BC(t))
X_BD_sol(t):=getsol(X_BD(t))
SOC_sol(t):=getsol(SOC(t))
end-do

```

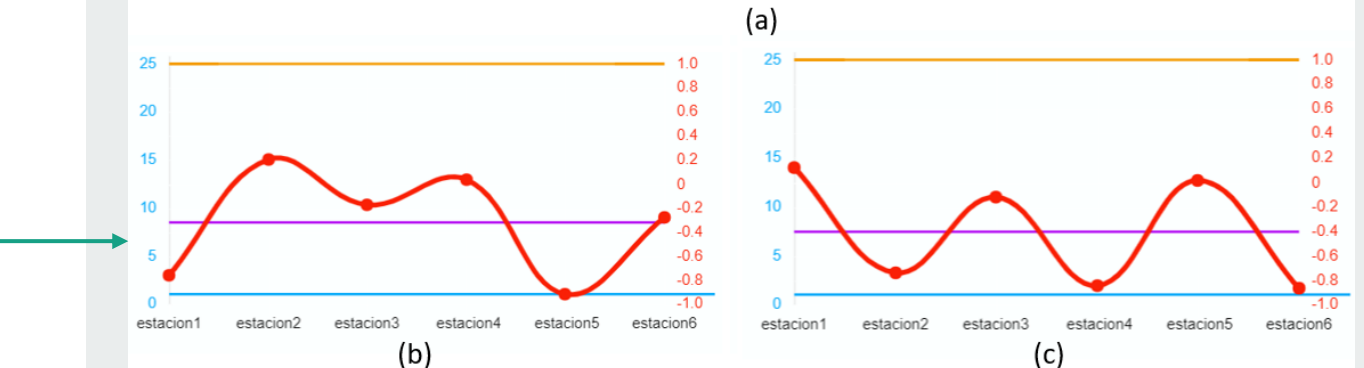
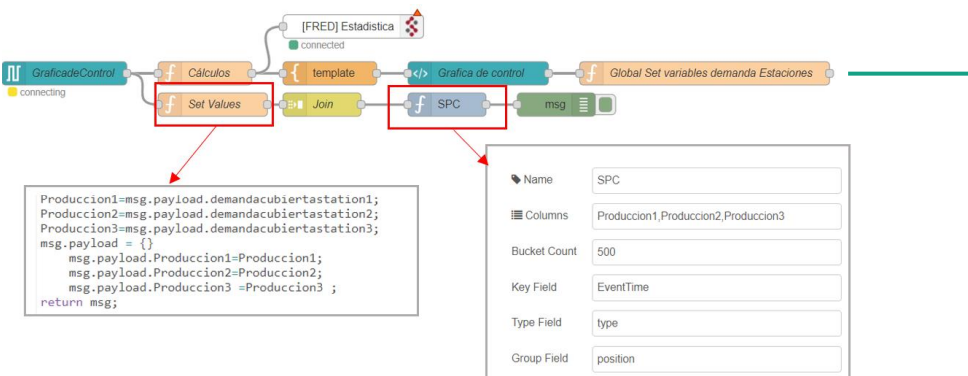
● Optimización del problema lineal de variables enteras



Gráficas de Control



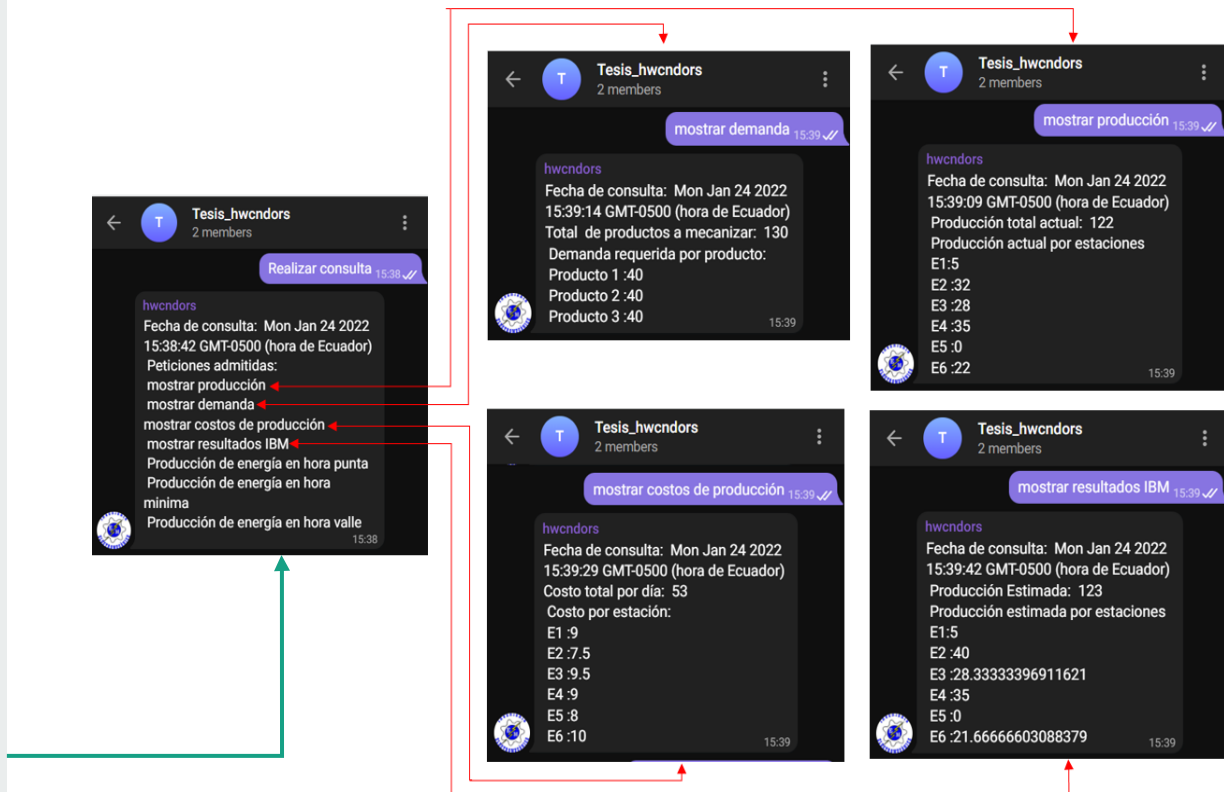
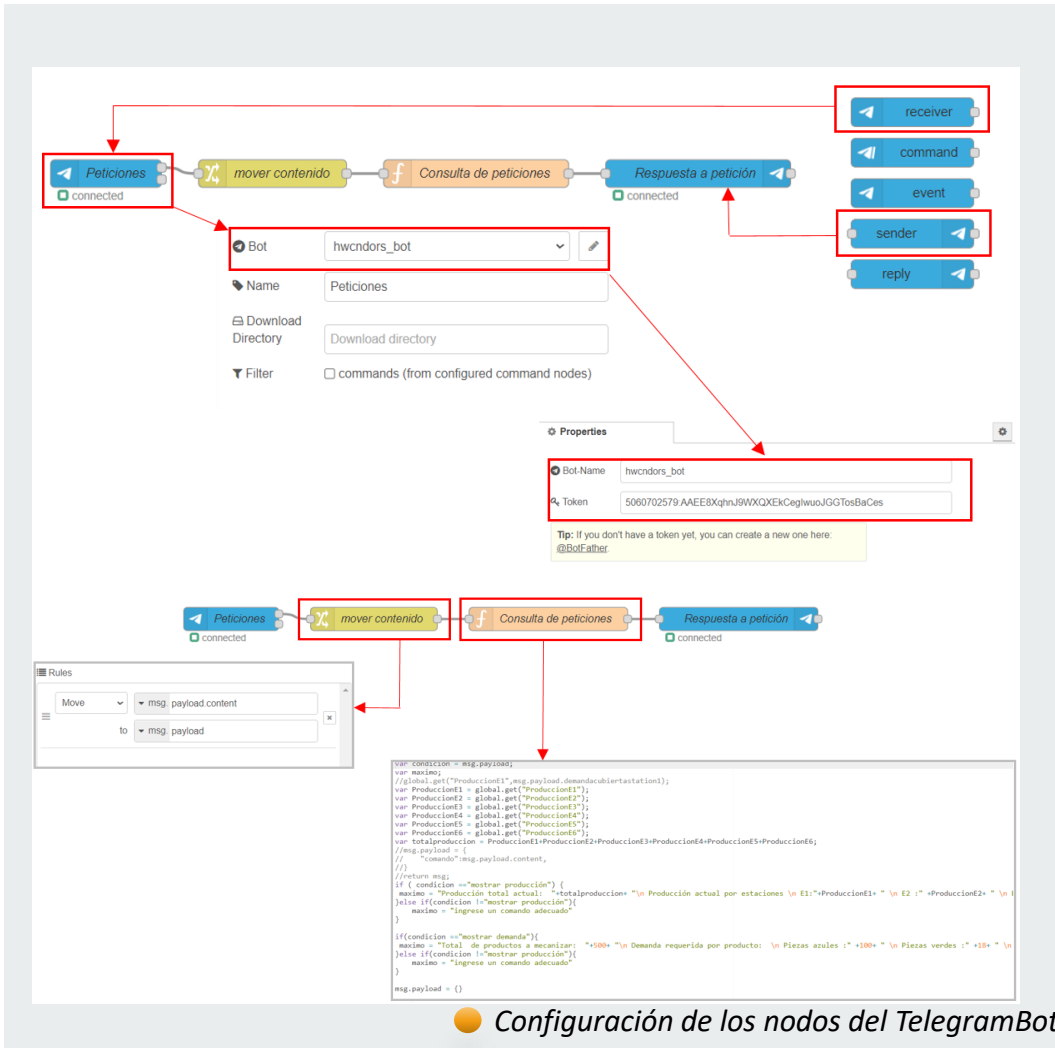
Cálculo de los límites de control utilizando un nodo de Función



Configuración del nodo SPC en node-red



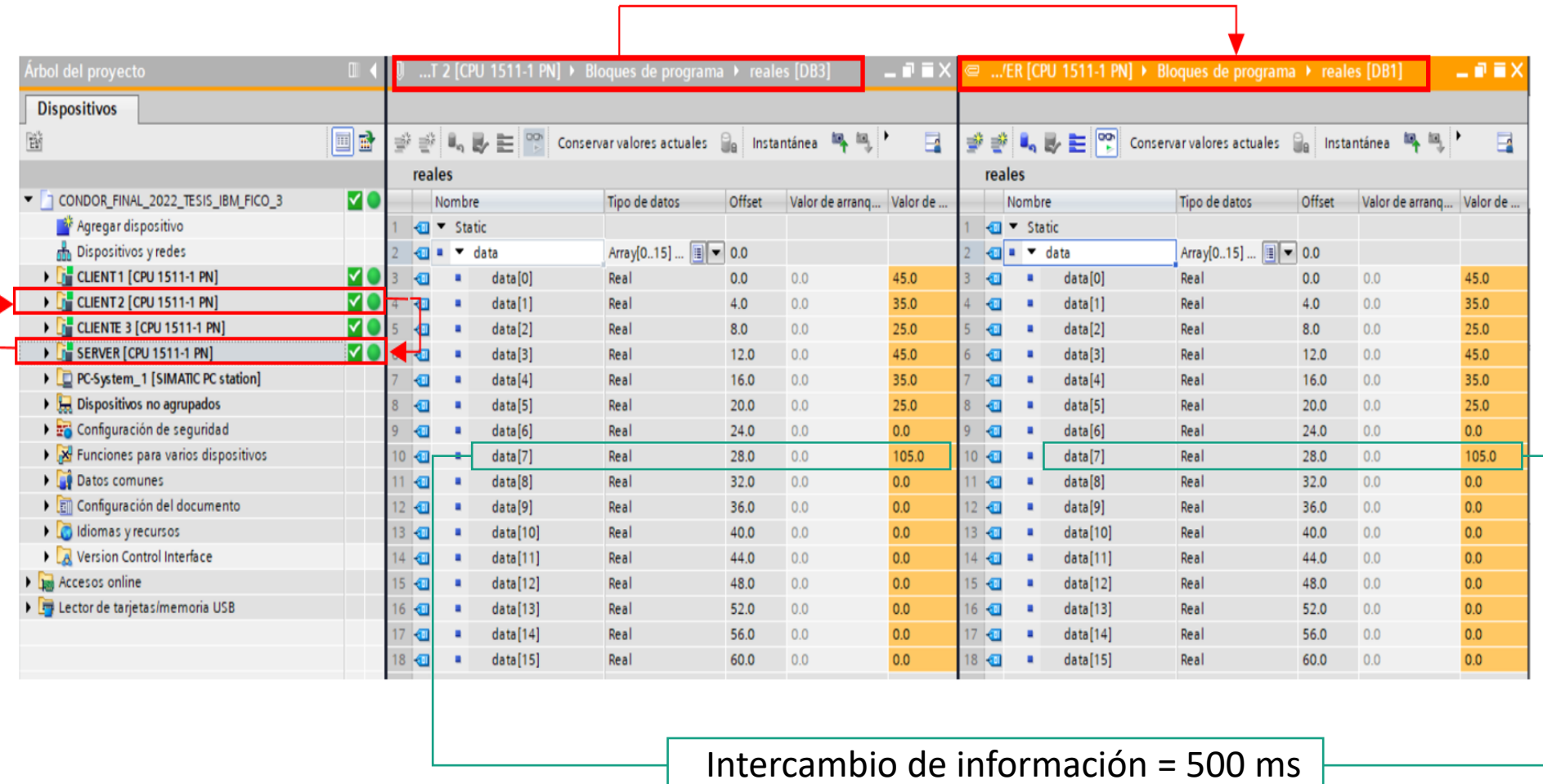
Aplicación del Telegrambot



AGENDA:

- MOTIVACIÓN
- PROBLEMÁTICA
- OBJETIVOS
- METODOLOGÍA
- DISEÑO DEL DCS
- ANÁLISIS DE RESULTADOS
- CONCLUSIONES Y RECOMENDACIONES





Modbus



Dispositivos

DATOS ENVIADOS SERVER_CLIENT1_PROFINET

Nombre	Valor de arranque	Valor de observación	Remanente	Accesible
C1_DATOS_BOOL				
real[0]	0.0	50.0		
real[1]	0.0	40.0		
real[2]	0.0	30.0		
real[3]	0.0	9.0		
real[4]	0.0	10.0		
real[5]	0.0	8.5		
real[6]	0.0	2.0		
real[7]	0.0	1.0		
real[8]	0.0	2.0		
real[9]	0.0	1.0		
real[10]	0.0	3.0		
real[11]	0.0	1.0		
real[12]	0.0	0.0		
real[13]	0.0	0.0		
real[14]	0.0	0.0		
real[15]	0.0	0.0		

DATOS RECIBIDOS SERVER_PROFINET

Nombre	datos	Offset	Valor de arranque	Valor de observación
C1_DATOS_BOOL	10	0.0		
real[0]	15	2.0		
real[1]	2.0	6.0	0.0	40.0
real[2]	10.0	0.0	30.0	
real[3]	14.0	0.0	9.0	
real[4]	18.0	0.0	10.0	
real[5]	22.0	0.0	8.5	
real[6]	26.0	0.0	2.0	
real[7]	30.0	0.0	1.0	
real[8]	34.0	0.0	2.0	
real[9]	38.0	0.0	1.0	
real[10]	42.0	0.0	3.0	
real[11]	46.0	0.0	1.0	
real[12]	50.0	0.0	0.0	
real[13]	54.0	0.0	0.0	
real[14]	58.0	0.0	0.0	
real[15]	62.0	0.0	0.0	

(a)

Profibus

Dispositivos

Data Recib del servidor

Nombre	de arranque	Valor de observación	Remanente	Accesible
INT				
INT[0]		52.83		
INT[1]		42.68		
INT[2]		44.13		
INT[3]		29.05		
INT[4]		41.02		
INT[5]		40.33		
INT[6]		48.55		
INT[7]		46.61		
INT[8]		45.13		
INT[9]		38.62		
INT[10]		31.33		
INT[11]		30.47		
INT[12]		36.4		
INT[13]		36.78		
INT[14]		37.7		
INT[15]		38.92		
INT[16]		42.6		
INT[17]		51.71		
INT[18]		75.12		
INT[19]		86.63		
INT[20]		100.0		
INT[21]		72.18		
INT[22]		70.41		
INT[23]		62.4		
INT[24]		1.639267E+12		

Datos enviados al cliente 3

Nombre	Offset	Valor de arranque	Valor de observación
INT	0.0		
INT[0]	0.0	0.0	52.83
INT[1]	4.0	0.0	42.68
INT[2]	8.0	0.0	44.13
INT[3]	12.0	0.0	29.05
INT[4]	16.0	0.0	41.02
INT[5]	20.0	0.0	40.33
INT[6]	24.0	0.0	48.55
INT[7]	28.0	0.0	46.61
INT[8]	32.0	0.0	45.13
INT[9]	36.0	0.0	38.62
INT[10]	40.0	0.0	31.33
INT[11]	44.0	0.0	30.47
INT[12]	48.0	0.0	36.4
INT[13]	52.0	0.0	36.78
INT[14]	56.0	0.0	37.7
INT[15]	60.0	0.0	38.92
INT[16]	64.0	0.0	42.6
INT[17]	68.0	0.0	51.71
INT[18]	72.0	0.0	75.12
INT[19]	76.0	0.0	86.63
INT[20]	80.0	0.0	100.0
INT[21]	84.0	0.0	72.18
INT[22]	88.0	0.0	70.41
INT[23]	92.0	0.0	62.4
INT[24]	96.0	0.0	1.639267E+12

(b)

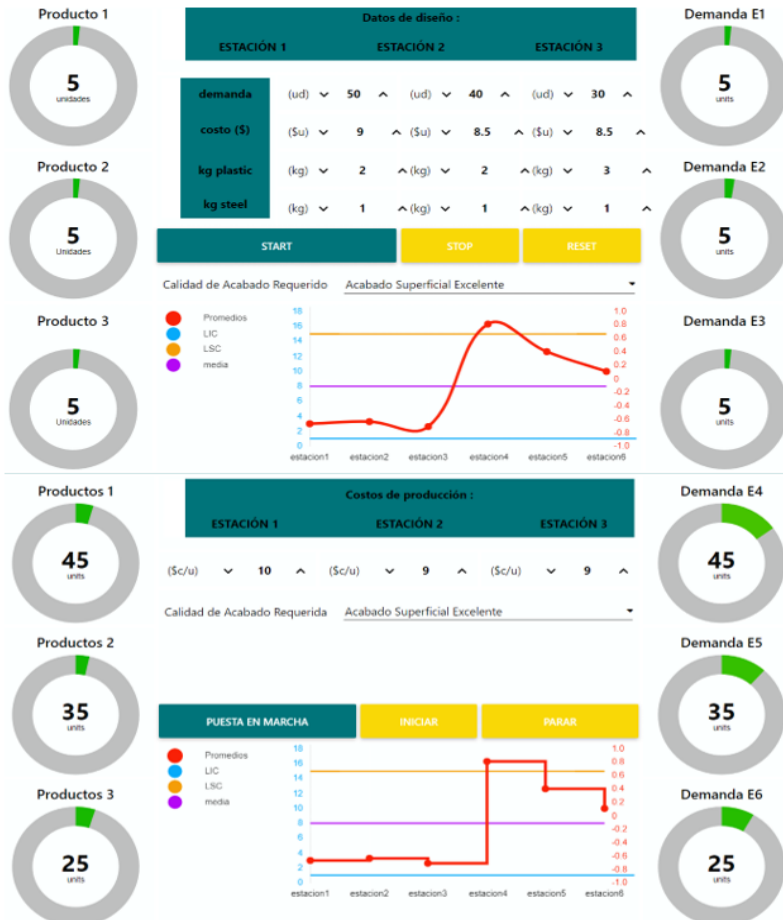
Latencia en el intercambio de información = 0 ms

Comunicación S7



Resultados de los Nodos Programados en node-red

44

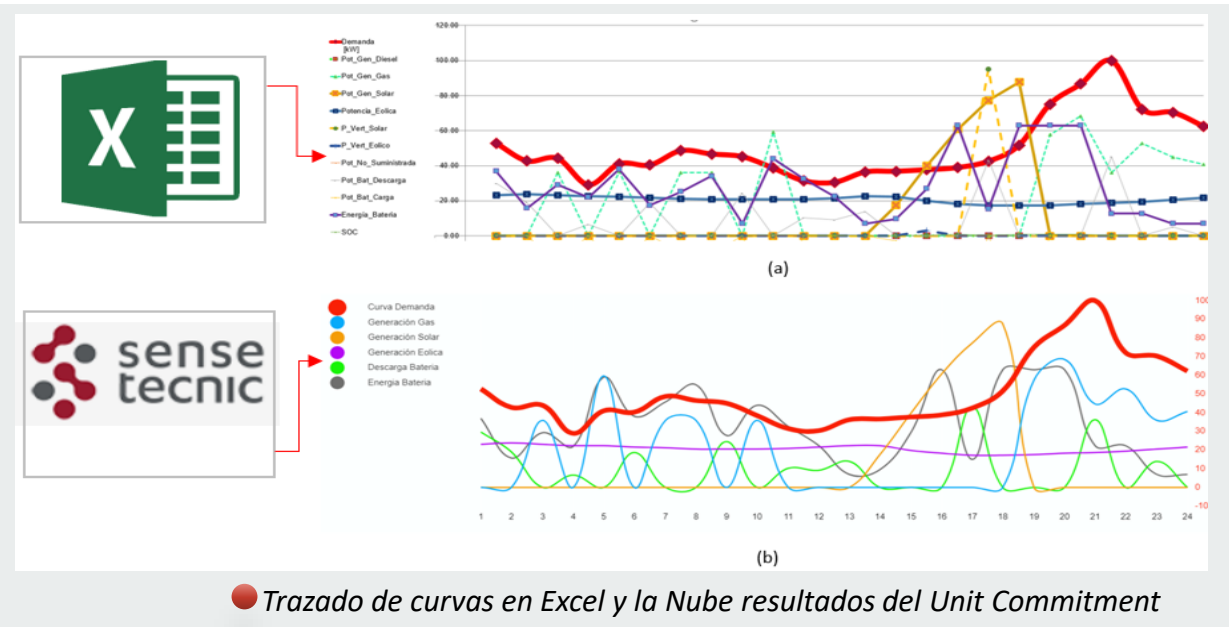


● Monitoreo del proceso tres desde la nube y almacenamiento en MongoDB

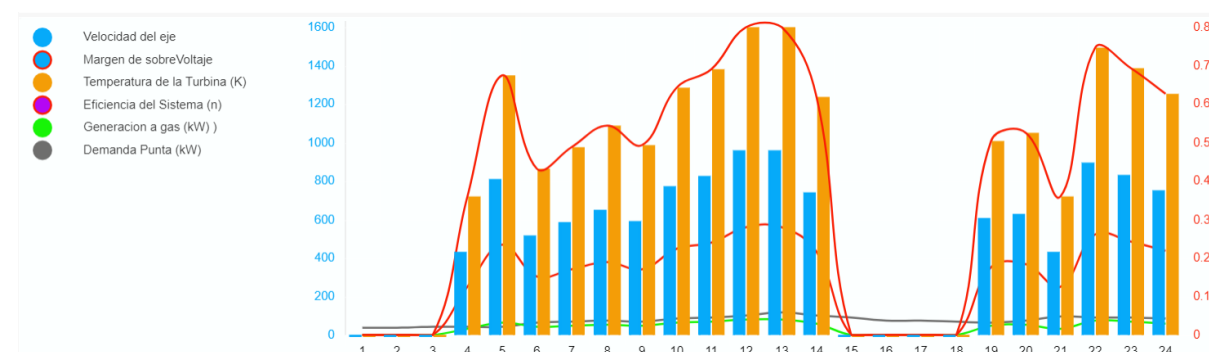
● Nodos de visualización y monitoreo



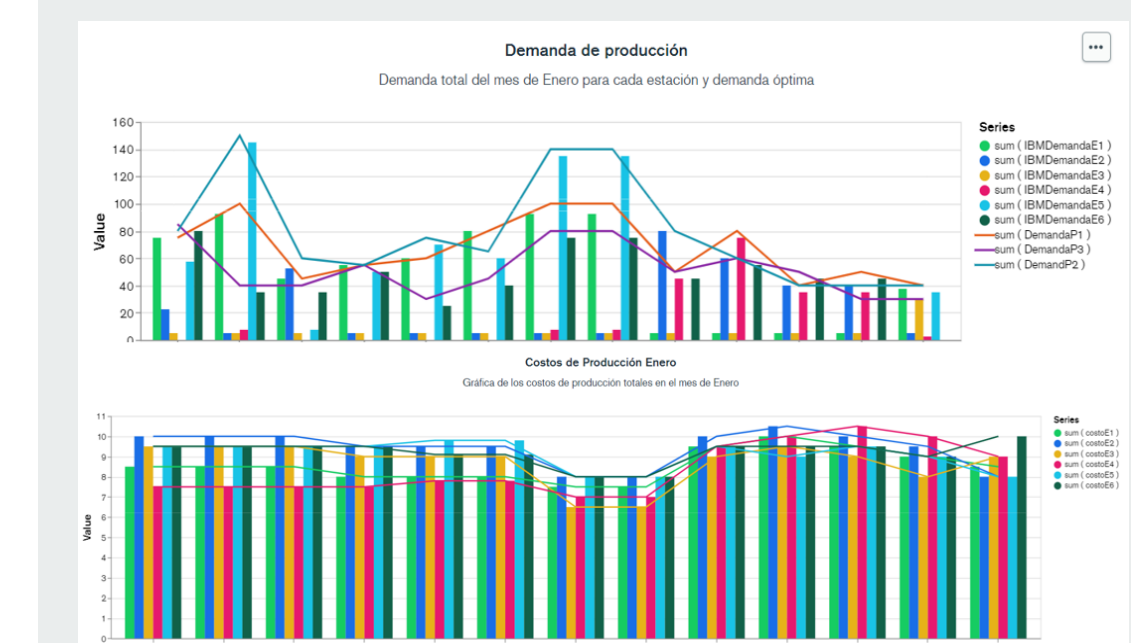
Gráfica lineal y de barras



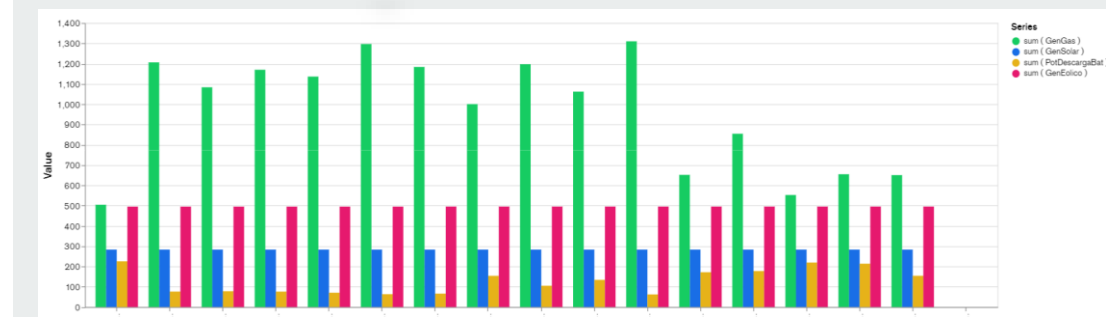
● Trazado de curvas en Excel y la Nube resultados del Unit Commitment



● Condiciones de operación del generados a Gas



● Gráfico de barra de producción, demanda y costos



● Grafica de barras producción total de potencia



Seguimiento a la Base de Datos

46

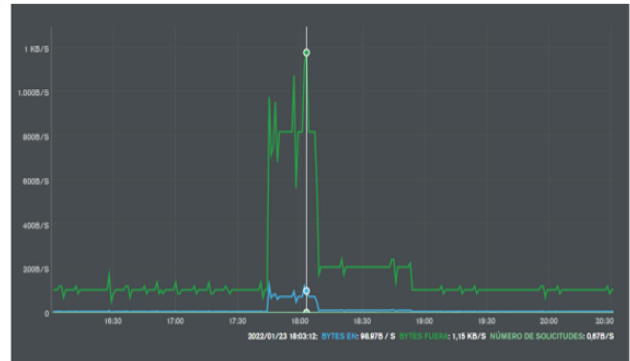
PreciosDemandaIBM						
	_id ObjectId	time Double	costoTotal Mixed	costoE1 Mixed	costoE2	
1	61da5d210547b53ba8193ba9	1641081600000	54.5	8.5	10	
2	61da5dcf0547b53ba8193baa	1641168000000	54.5	8.5	10	
3	61da5e310547b53ba8193bab	1641254400000	54.5	8.5	10	
4	61da5eaa0547b53ba8193bac	1641340800000	53	8	9.5	
5	61da5f440547b53ba8193bad	1641427200000	53.2	8	9.5	
6	61da60540547b53ba8193bae	1641513600000	53.2	8	9.5	
7	61db8f2154e6ed2ee0a64dc9	1641686400000	45	7.5	8	
8	61db8f3254e6ed2ee0a64dcc	1641772800000	45	7.5	8	
9	61ddece688223929a40f4150	1641945600000	57	9.5	10	
10	61e70afaf0ca851b547220eb	1642291200000	58.5	10	10.5	
11	61e8d68db20d431858326c58	1642464000000	58	9.5	10	
12	61ec195c6ca5d429a460aaa5	1642636800000	54.5	9	9.5	
13	61ed9e48a30cb34338f760e3	1642809600000	52.5	8.5	8	
14	61ef09ddc40dfd162021595c	1642896000000	53	9	7.5	

Displaying documents 1 - 14 of 14

```
_id: {  
  "$oid": "61da5d210547b53ba8193ba9"  
},  
"time": 1641081600000,  
"costoTotal": 54.5,  
"costoE1": 8.5,  
"costoE2": 10,  
"costoE3": 9.5,  
"costoE4": 7.5,  
"costoE5": 9.5,  
"costoE6": 9.5,  
"DemandaP1": 75,  
"DemandaP2": 80,  
"DemandaP3": 85,  
"IBMDemandaE1": 75,  
"IBMDemandaE2": 22.5,  
"IBMDemandaE3": 5,  
"IBMDemandaE4": 0,  
"IBMDemandaE5": 57.5,  
"IBMDemandaE6": 80  
}  
  
_id: ObjectId("61da5d210547b53ba8193ba9")  
time: 1641081600000  
costoTotal: 54.5  
costoE1: 8.5  
costoE2: 10  
costoE3: 9.5  
costoE4: 7.5  
costoE5: 9.5  
costoE6: 9.5  
DemandaP1: 75  
DemandaP2: 80  
DemandaP3: 85  
IBMDemandaE1: 75  
IBMDemandaE2: 22.5  
IBMDemandaE3: 5  
IBMDemandaE4: 0  
IBMDemandaE5: 57.5  
IBMDemandaE6: 80
```

● Documentos almacenados en una colección de MongoDB

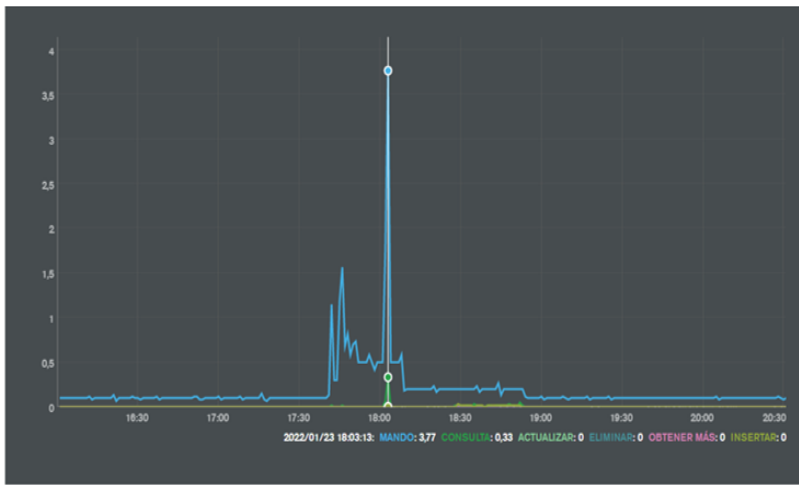
ESPE
UNIVERSIDAD DE LAS FUERZAS ARMADAS
INNOVACIÓN PARA LA EXCELENCIA



(a)

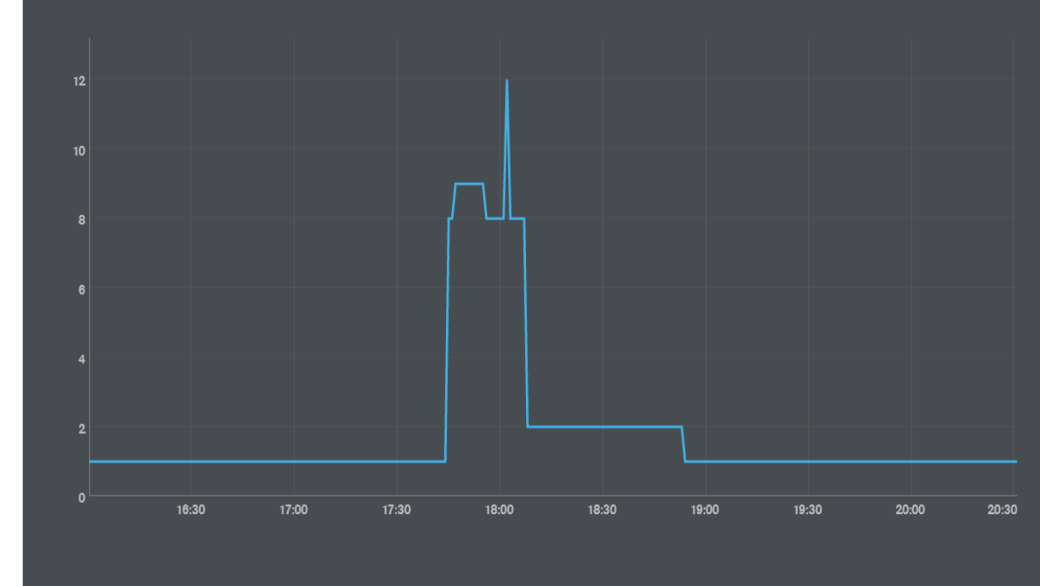


(b)



(c)

- a) Cantidad de Bytes/s enviados al servidor de Mongodb
- b) Tamaño total de los documentos alojados en el servidor
- c) Tasa promedio de comandos ejecutados por segundo durante el periodo de muestra



Conexiones activas del servidor Mongodb



AGENDA:

- MOTIVACIÓN
- PROBLEMÁTICA
- OBJETIVOS
- METODOLOGÍA
- DISEÑO DEL DCS
- ANÁLISIS DE RESULTADOS
- CONCLUSIONES Y RECOMENDACIONES**



- Los resultados de este trabajo muestran que la velocidad de transmisión de datos entre el controlador servidor y los clientes es rápida y eficiente, al utilizar los protocolos de bus de campo Profibus y la comunicación s7 existe una latencia nula al intercambiar datos a diferencia de utilizar, Modbus TCP que presenta una latencia de 500 ms en el intercambio, aun así, enviar y recibir información desde la nube a través del PLC servidor se lleva de manera exitosa sin perder ningún dato.
- En el referente a la virtualización de procesos industriales se ha identificado las ventajas e importancia que tienen los softwares de simulación dentro de la academia, permitiendo enseñar y aprender de manera continua a pesar de la crisis sanitaria que impide el uso y acceso a los laboratorios, además con la virtualización el consumo energético es menor, así como el espacio físico que se necesita concentrando múltiples máquinas y equipos virtuales en un solo equipo físico.
- Con respecto a la programación y configuración de los nodos se ha utilizado las librerías de node-red y de la plataforma IoT, con un mínimo grado de conocimiento en JavaScript se logró crear, mejorar e incorporar nuevas herramientas que permitan almacenar y visualizar los datos de manera local y desde la nube.



- Para minimizar los costos de producción se ha planteado un algoritmo matemático que se lo resuelve aplicando técnicas de programación lineal considerando factores como la demanda, tiempos máximos de operación, calidad del producto, consumo y disponibilidad de materia prima. Además, Para resolver los modelos planteados los entornos de herramientas informáticas de cálculo han permitido tener resultados óptimos, y conjuntamente con los softwares de simulación y programación como Factory IO, FluidSIM y TIA portal se pudo evaluar los resultados.
- Utilizar técnicas estadísticas como trazar graficas de control ha permitido analizar el comportamiento de los procesos como también identificar posibles fallos, saber cuándo el proceso está a punto de salirse de control, y conocer las posibles causas es de vital importancia en la ejecución. La correcta interpretación de estas graficas podría mejorar los procesos ajustando o reajustando los parámetros de producción.
- Para finalizar, la base de datos en la nube presenta mayor ventaja que una base de datos local al usar una base de datos en la Web los tiempos de configuración se redujeron y no se necesitó ninguna instalación para su funcionamiento. Al estar utilizando Mongodb almacenar los datos de cada proceso fue sencillo y con una programación mínima utilizando formato de texto JSON.

- Al estar utilizando una base de datos no estructura como Mongodb es recomendable tener una mayor variedad de datos no solo del tipo numérico, podría ser textos, correos o alarmas que se puedan generar en los procesos. Al tener solo datos numéricos es recomendable utilizar una base datos SQL, debido a que el servidor compartido en la nube no posee los nodos para conectar con una base de datos SQL de manera sencilla y dinámica se optó por usar una base de datos en Mongodb. Además de ofrecer un gran rendimiento y escalabilidad Mongodb formar parte de las herramientas más usadas del Big data y por ende de la industria 4.0.
- Al ser un proyecto con procesos virtualizados, construir procesos más complejos y con una mayor cantidad de variables es necesario si se quiere aprovechar al máximo las herramientas informáticas utilizadas en el proyecto, además esto podría mejorar o replantear un modelo más completo de optimización en donde se consideren más parámetros, como por ejemplo disponibilidad del espacio, trazado de rutas, tiempo de traslado del material y envíos, entre otros.
- Al estar trabajando con la última versión de node-red se recomienda investigar y configurar nuevas plataformas IoT que se encuentren en constante desarrollo debido a que, las actualizaciones de la plataforma utilizada en el presente proyecto no están al nivel actual de node-red dificultando la aplicación de ciertas técnicas y aumentando el tiempo de desarrollo.

GRACIAS POR SU ATENCIÓN



ESPE
UNIVERSIDAD DE LAS FUERZAS ARMADAS
INNOVACIÓN PARA LA EXCELENCIA